

# MARVELĖS KAPINYNKO GELEŽIES DIRBINIŲ METALOGRAFINIAI, MECHANINIŲ SAVYBIŲ IR ELEMENTINĖS SUDĖTIES TYRIMAI

MINDAUGAS BERTAŠIUS, JONAS NAVASAITIS, AUŠRA SELSKIENĖ,  
GINTAUTAS ŽALDARYS

*Straipsnyje pateikiami Marvelės kapinyno geležies dirbiniių metalografinių, mechaninių savybių ir elementinės sudėties tyrimų rezultatai. Tyrimams naudoti 2006 metais ištirtų III–V a. griautinių kapų radiniai: kirviai (3), ietigaliai (4), peiliai (2) ir sagtis bei metalurginiai šlakai, gargažės ir geležies konkreocijos iš kapų aplinkos. Tyrimams taikyta įprasta metodika, tad jų rezultatai gali būti lyginami su kitų vietų duomenimis. Metalografinių tyrimų metu nustatyta, kad gaminant buvo gaunamos skirtingo kieatumo dirbino dalys. Kirviai gaminti iš dviejų atskirų geležies ruošinių, ietigaliai ir peiliai – iš vientisu. Elementinė dirbinių sudėtis yra panaši į kitų Lietuvos archeologinių vietų, tačiau egzistavo ir kai kurie skirtumai, kurie perša mintį apie nevietinę tokų dirbinių kilmę.*

**Reikšminiai žodžiai:** Marvelės dirbiniai, kalviškoji geležis, mikrostruktūra, elementinė sudėtis.

*The article presents the results of a metallographic, mechanical properties, and elemental analysis of iron artefacts from Marvelė cemetery. Finds from 3rd–5th-century inhumations excavated in 2006: axes (3 examples), spearheads (4), knives (2), and a buckle as well as metallurgical slag, clinkers, and iron droplets found in the vicinity were used for the analysis. Ordinary methodology was used for the analysis, thus the results are comparable with those from other sites. The metallographic analysis determined that a varying hardness was achieved in manufacturing the different parts of the artefacts. The axes were forged from two separate pieces of iron, the spearheads and knives from one. The chemical composition of the artefacts is similar to that of artefacts from other Lithuanian archaeological sites; nevertheless some differences exist, which presupposes the idea of the non-local origin of some artefacts.*

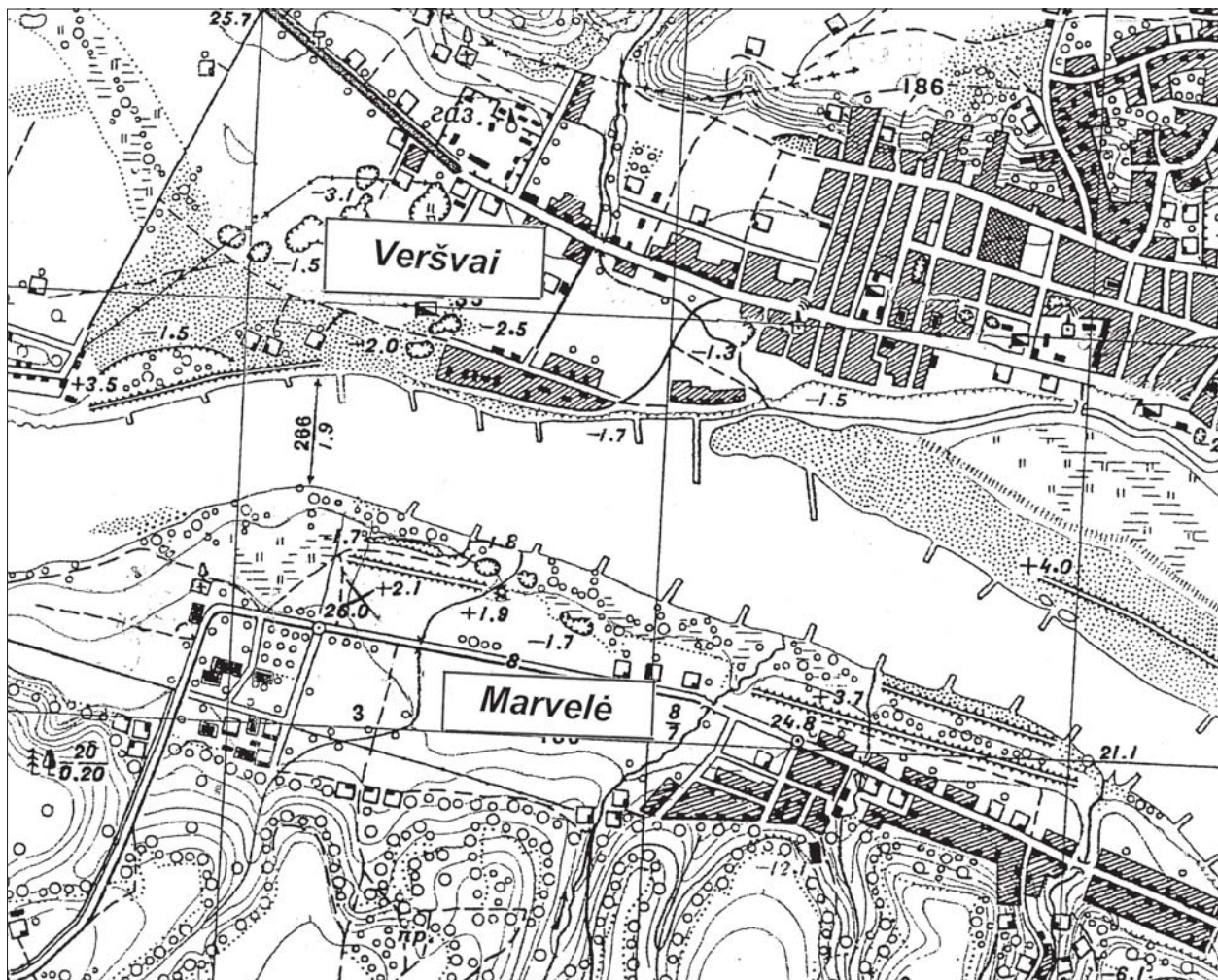
**Keywords:** Marvelė artefacts, bloomery iron, microstructure, elemental composition.

## IVADAS

Nuo II a. po Kr. Kauno apylinkės išsiskiria savita archeologiniai paminklai. Tai plokštinių kapinynų grupė (Tautavičius, 1996, 58). Paminklai gana intensyviai tyrinėti 1938–1941 m.: Veršvų, Graužių, Sargėnų, Ruseinių, Pakapių kapinynai. Vėliau tyrinėta dar keletas šio regiono kapinynų – Seredžius, Mikytai, Kejėnai, Kriemalos kapinyno likučiai. Tyrimų medžiagą labai papildė dideilių Pakalniškių, Nendrinių bei Masteikių kapinynų tyrimai. Tačiau ypač daug medžiagos

gauta 1991 m. pradėjus tyrinėti Marvelės kapinyną Kaune.

Marvelės kapinynas yra vakarinėje Kauno miesto dalyje, prie senojo kelio į Šakius, Nemuno slėnyje (1 pav.). 1991–2007 m. visiškai ištirta kapinyno teritorija apima 28 100 m<sup>2</sup> (Bertašius, 2009, 105). Marvelės kapinynas su beveik 1530 kapų, datuojamų nuo II a. pab. iki XII a., ir beveik 250 žirgų kapų teikia svarbios medžiagos, leidžiančios argumentuotai spręsti apie baltų genčių kilmę. Ja remiantis turime galimybę tyrinėti čia gyvenusios bendruomenės materialinę kultūrą, gyvensenos



1 pav. Marvelės ir Veršvų kapinynai Nemuno slėnyje XX a. 6 dešimtmečio žemėlapyje. Šiuo metu Marvelės kapinynas iš dalies užstatytas Kauno miesto nuotekų valymo įrenginiais.

bruožus, elgesio formas, socialines praktikas, tradicijas, papročius bei atsekti jų tēstinumą ir kaitą daugiau nei per tūkstantmetį.

Savitos Vidurio Lietuvos kultūrinės grupės kilmė iki šiol lieka neaiški. Aiškūs ir pastovūs laidojimo papročio bruozai susiformavo dar romeniškuoju laikotarpiu (fazė B, I-II a. po Kr.). Kapinynai sutelkti palyginti nedidelėje teritorijoje, patogioje geografinėje erdvėje – Nemuno ir Nerijos santakos rajone. Visai netoli į Nemuną įteka Nevėžis ir Dubysa. Šioje nedidelėje teritorijoje su-

eina visi pagrindiniai Lietuvos vandens keliai. Marvelės kapinyno tyrimo rezultatų reikšmė yra labai svarbi – jis patikimai reprezentuoja kultūrinės kaitos klausimus nuo romeniškojo iki vikingų laikotarpio.

Straipsnyje pristatomieji Marvelės kapinyno geležies dirbinių metalografiniai, mechaninių savybių ir elementinės sudėties tyrimai, atlikti Kauno technologijos universiteto Gamybos technologijų katedroje ir Chemijos institute. Tokio pobūdžio tyrimų Lietuvos archeologinės medžiagos tyrimų

praktikoje nėra daug. Nors jie atliekami nuo šeštotojo dešimtmečio pabaigos, tačiau turimi rezultatai dar neleidžia daryti argumentuotų apibendrinimų ir palyginimų. Šios priežastys lémė sieki ir pastangas sukaupti išsamesnę tokio pobūdžio duomenų bazę. Tyrimo tikslas buvo nustatyti radinių cheminę sudėtį, ištirti metalo sandarą, mechanines savybes, pateikti technologinį dirbinių vertinimą. Taip pat buvo siekiama nustatyti radinių gamybos vietą.

2003–2007 m. vykusių Marvelės kapinyno archeologinių tyrimų metu įvairių laikotarpiai (romėniškojo, tautų kraustymosi bei vikingiškojo) kapų aplinkoje surinkta įvairios su geležies apdirbimu susijusios medžiagos. Daugiausiai tai metalurginiai šlakai, gargažės bei geležies konkrecijos. Šie antriniai geležies gamybos proceso artefaktai žadino viltį tyrimų metu atrasti ir daugiau geležies apdirbimo procesą nusakančios medžiagos. Nors kol kas tai nepavyko, šie radiniai kėlė autoriu susidomėjimą, nes ryškėjo galimybė nustatyti dirbinių kilmės vietą, kompleksiškai palyginant vieno objekto medžiagą: kapų dirbinių ir kapų aplinkoje rastų šlakų bei konkrecijų struktūras.

Buvo parinkta medžiaga, kuri atspindi tiek skirtingo laikotarpio kapus, tiek paplitimo kapiyne skirčius bei skirtinges dirbinių funkcijas. Tyrimams naudoti dirbiniai chronologiskai apima periodą nuo II a. pab. iki V a. pr. Tai Vidurio Lietuvai būdingi ginklai bei buities dirbiniai – įmoviniai kirviai ir kelių tipų ietigaliai, skirtingu dydžiu peiliai ir sagtis.

Tyrimams buvo panaudota šių kapų medžiaga (Bertašius, 2007š, 2008š):

*Kapas 1357* (224 tyrimų plotas); griautinis 25–30 m. amžiaus moters karste kapas, ryški kapo duobė; įkapes sudaro (inv. 63–69) sudėtinis krūtinės papuošalas, juostinis žiedas, įvija, kirvis, ietigalis, peilis ir smeigtukas. Medžiaga datuojama III a. Tyrimams panaudotas **ĮMOVINIS KIRVIS**.

*Kapas 1405* (255 plotas); griautinis 35–40 m.

amžiaus vyro kapas, ryški kapo duobė; įkapes sudaro (inv. 152–155) smeigtukas, kirvis, ietigalis, peilis. Medžiaga datuojama II–III a. sandūra. Tyrimams paimtas **ĮMOVINIS KIRVIS, ĮMOVINIS IETIGALIS** (artimas VI tipui, čia ir toliau tipai nurodomi pagal: Kazakjaviciuc, 1988, 22–55), **PEILIS LENKTAS ĮKOTE**.

*Kapas 1410* (225A plotas); griautinis 35–45 m. amžiaus vyro kapas; įkapes sudaro (inv. 171–172) ietigalis ir peilis. Medžiaga datuojama apie III a. Tyrimams paimtas **ĮMOVINIS IETIGALIS** (IV tipo b variantas – IVB).

*Kapas 1414* (253 plotas); griautinis per 20 m. amžiaus greičiausiai moters (?) kapas; įkapes sudaro (inv. 188–195) karolių vėrinys, lankinė segė, įvijinis žiedas, kovos peilis, kirvis, ietigalis, sagtis, antskydis. Medžiaga datuojama IV–V a. sandūra. Tyrimams paimtas **ĮMOVINIS KIRVIS IR ĮMOVINIS IETIGALIS** (I tipo d variantas – ID).

*Kapas 1446* (240C plotas); griautinis 24–40 m. amžiaus greičiausiai vyro kapas, kapo duobė išsiskyrė ypatinga įranga – gausiais degėsiais ir perdegėsiais suskaldytais akmenimis; įkapes sudaro (inv. 284–285) sagtis ir nenustatyto dirbinio fragmentas, datuojami apie IV–V a. Tyrimams paimta **sagtis**.

*Kapas 1468* (285A plotas); griautinis 25–40 m. amžiaus vyro kapas; įkapes sudaro (inv. 368–369) ietigalis ir peilis. Medžiaga datuojama III–IV a. Tyrimams paimtas **ĮMOVINIS IETIGALIS** (I tipo b variantas arba IV tipo A variantas – atitinkamai IB arba IVA) ir **PEILIS LENKTAS ĮKOTE**.

Taip pat tyrimams paimti 6 metalurginio šlako pavyzdžiai, dvi redukuotos geležies konkrecijos ir viena neaiškios sudėties gargažė. Visi jie rasti pietrytinėje kapinyno dalyje, 2005 ir 2006 metų tyrimų metu minėtų kapų aplinkoje. Kadangi jokių kitų geležies apdirbimo pėdsakų (lydymo krosnelių liekanų ar pan.) kapų aplinkoje nerasta, šie radiniai gali būti vandens srauto atnešti iš tolėliau. Tačiau akivaizdu, kad geležis buvo apdirbtas netoliuose, Nemuno slėnyje.

## TYRIMŲ METODIKA

Dalis tiriamų bandinių (visi tiriami įmoviniais kirviai bei vienas ietigalis) buvo perpjauti išilgai, siekiant iš pjūvio gauti maksimalios informacijos apie dirbinių sandarą bei gamybos būdą, analizuojant jų mechaninę charakteristiką ir cheminę sudėtį. Kai kurių radinių buvo išpjauti papildomi smulkūs bandiniai, skirti detalesniems tyrimams. Radinių, kurie nebuvu pjaunami išilgai, buvo atliekami skerspjūviai (ietigaliai, peiliai, diržo sagatis). Tai įprasta tyrimų metodika tiek Lietuvoje, tiek kitur. Geležies dirbinių technologijai ir metalo struktūrai nustatyti metalografinj (makro- ir mikrošlifų analizavimo) metodą plačiai taikė J. Stankus (Stankus, 1978, 75–76). Žinomas lenkų tyrinėtojas J. Piaskowski tokiu metodu tyrinėjo įvairių laikotarpių dirbinius (Piaskowski, 1983 (1987), 102), latvių tyrinėtojas A. Anteins šiuo metodu tyrė baltiškuosius kirvius, ietigalius bei kt. (Anteins, 1976, 19, 39, 41). Net įvertinant naujų tyrimų galimybes šis metodas lieka pagrindinis ir taikomas tiriant įvairių periodų dirbinius (Biborski ir kt., 2002; Peets, 2003). Galima pažymeti, kad tyrinėjant tokią netolygios struktūros ir sudėties medžiagą kaip kalviškoji geležis ir jos dirbiniai, detaliai ištirti ir argumentuotai pagrįsti medžiagos sudėtį kol kas tai labiausiai pasiteisinės metodas. Jis leidžia gauti kokybiškus ir išsamius duomenis tiriant dirbinio sandarą, mikrostruktūrą ir savybes.

Metalografiniams tyrimams perpjautų bandinių paviršiai buvo šlifuojami mažėjančio smulkuomo šlifavimo popieriumi ir poliruojami naudojant chromo oksido miltelių emulsiją arba deimantinę pastą. Mikrostruktūroms ryškinti naudotas 3% azoto rūgštis ( $\text{HNO}_3$ ) tirpalas etilo alkoholyje. Mažo didinimo (makrotyrimai, padidinant nuo 6 iki 60 kartų) struktūros tyrimai buvo atlikti metalografiniu mikroskopu MBC-1. Didesnio didinimo mikrostruktūros tyrimai buvo atliekami metalografiniais mikroskopais Axio Scope, A1 (Carl Zeiss) ir Olympus BH-2.

Radinių mechaninėms savybėms įvertinti buvo atlikti jų kietumo ir mikrokietumo tyrimai. Kietumas nustatytas Rokvelo kietmačiu TK-2M, naujodant deimantinį kūgio formos indentorių. Mikrostruktūros dedamujų fazų mikrokietumas buvo tiriamas mikrokietmačiu ПМТ-3У42. Kad būtų galima lengvai palyginti rezultatus, gauti duomenys buvo perskaiciuoti į Brinelio vienetus (HB).

Bandinių elementinė sudėtis nustatyta rentgenospektrinės mikroanalizės metodu, skleidžiamuoju elektroniniu mikroskopu (toliau SEM) EVO 50EP (Carl Zeiss SMT AG) su rentgeno spindulių banginės dispersijos spektrometru (Oxford Instruments). Matavimų sąlygos: greitinant įtampa 20 kV, elektronų pluoštelio srovė 500 nA.

Šlako bandiniai buvo sutrinti ir iš jų presavimo būdu suformuotos 8 mm skersmens ir 1 mm storio tabletės. Kiekviename bandinyje elementų koncentracija matuota trijuose 100x200 mm dydžio ploteliuose (elektronų pluoštelio srovė 40 nA). Darbe pateikiami šių matavimų vidurkiai.

## ŽYMĖJIMAI IR PAAIŠKINIMAI

**F** – feritas, techniškai švari geležis.

**Pe** – perlitas, ferito ir cementito mechaninis mišinys, turintis 0,8% anglies.

**Cementitas** – geležies ir anglies cheminis junginys  $\text{Fe}_3\text{C}$ .

**Sorbitas** – geležies ir anglies lydinių struktūrinė dedamoji, kuri sudaryta iš cementito ir ferito mechaninio mišinio, susidariusio alotropinio virsmo metu iš austenito, metalą aušinant tam tikru greičiu. Skirtumas tarp perlito ir sorbito tas, kad sorbitas yra daug dispersiškesnis mišinys, dėl to kietesnis ir atsparesnis dilimui.

**Trostitas** – geležies ir anglies lydinių struktūrinė dedamoji, sudaryta iš ferito ir cementito dispersinio mišinio, susidarančio grūdinimo metu. Nuo ferito ir perlito skiriasi smulkesne sandara ir didesniu kietumu.

**Matrica** (mikrostruktūroje) – lydinio pagrindas arba pagrindinė lydinio fazė.

## GELEŽIES KONKRECIJOS IR METALURGINIAI ŠLAKAI

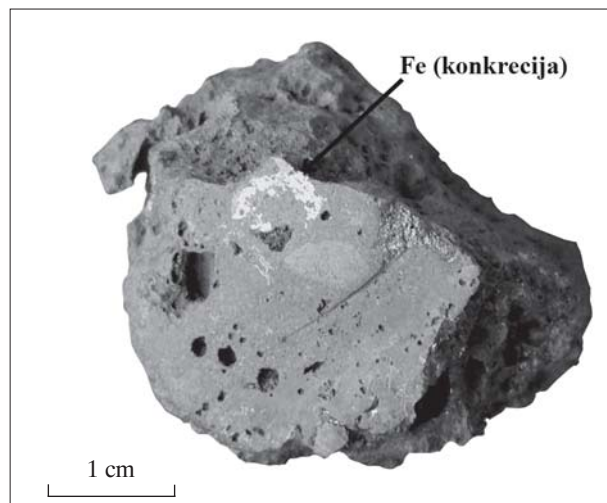
**Geležies konkrecijos** – tai redukuotos (atgai-vintos) geležies trupinėliai, nepakliuvę į kritę ir likę lydymo šlake. Šlako susidarymas buvo neiš-vengiamas procesas lydant geležį rudnelėse. Šla-ke susijungia bergždžioji rūdos uoliena, kuro pelenai ir kitos specialiai pridedamos ar atsitikti-nės priemaišos. Rudnelių šlakuose aptinkamos konkrecijos būna įvairaus dydžio: nuo mažų pa-vienių trupinelių iki kelių dešimčių gramų masės gabalėlių. Geležies konkrecijų sudėties analizės ir metalografiniai tyrimai duoda labai vertingos informacijos apie rudnelėje išlydytos geležies ele-mentinę sudėtį, jos įanglinimą ir struktūrinę san-darą. Taip pat žinant ir lydymo šlako sudėtį, galima patikimai spręsti apie naudotą rūdą bei technolo-ginius lydymo procesus. Svarbu pažymėti, kad kai kurie geležies rūdoje esantys elementai – varis (Cu), nikelis (Ni), kobaltas (Co), arsenas (As), fos-foras (P) rudnelėse palyginti lengvai redukuoja-mi iš oksidų ir patenka į išlydytą geležį. Jie išlieka ir pagamintuose šios geležies dirbiniuose. Todėl konkrecijų sudėties analizės gali vaidinti labai svarbų vaidmenį tiriant geležies dirbinių kilmę ir jų gamybos technologiją.

Tarp Marvelės archeologinių gargažių buvo aptikti du magnetui jautrūs lydymo šlako fragmen-tai, kurie ir buvo paimti tyrimams. Jų pjūviuose išryškėjo geležies konkrecijos (2 pav.).

Buvo paruošti ir ištirti šie bandiniai:

- 1) Bandinys – Marvelė 20070717/2 (šlifas Nr. 150).
- 2) Bandinys – Marvelė 20070717/4 (šlifai Nr. 152 ir 153).

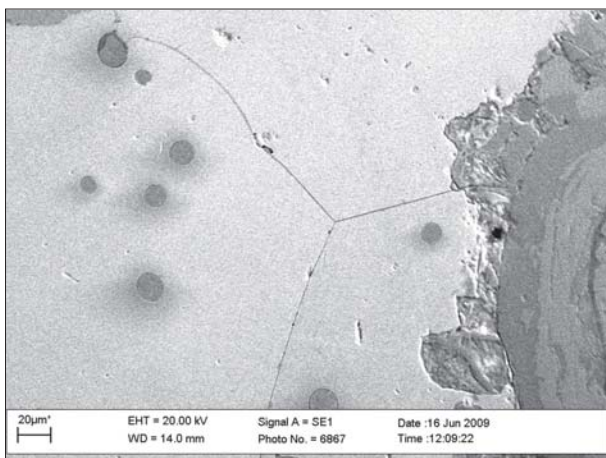
Geležies konkrecijų elementinė sudėtis yra pa-teikta 1 lentelėje. Geležies kiekis metalinėje kon-krecijų matricoje (99,51–99,83% Fe) rodo palyginti didelį geležies grynumą. Konkrecijose aptikta labai mažai vario (tik pėdsakai) ir nikelio (nuo 0 iki 0,011%), taip pat labai mažai sieros (vid. 0,005%). Kur kas daugiau rasta kobalto (vid. 0,164%) ir arseno (vid. 0,123%). Nedaug paste-



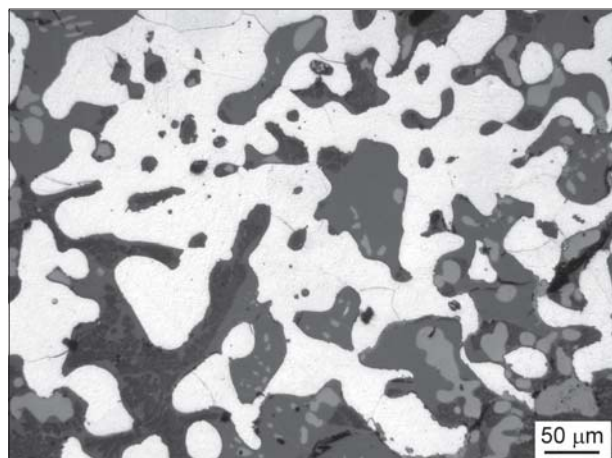
2 pav. Lydymo šlakas su geležies konkrecija (bandinys Nr. 20070717/4, poliruotas, neryškintas). *A. Selskienės nuotr.*

bėta ir fosforo (šlifuose 150 ir 152 jo aptikta tikta vid. 0,008%), tačiau šlife 153 didžiausias fosforo kiekis siekė 0,455%. Tai rodo, kad Marvelės vietovėje geležis buvo lydoma ir iš palyginti fosforin-gos rūdos. Verta paminėti, kad šių elementų (Cu, Ni, Co, As, P, S) koncentracijos yra panašios ir daugelyje kitų Lietuvos teritorijoje aptiktų geležies konkrecijų, nors elementų tarpusavio santi-ykis atskirose konkrecijose būna skirtinas. Metalografiniai tyrimai parodė, kad konkrecijose vyrauja neįanglinta geležis, kurios mikrostruktū-roje matomi stambūs ferito grūdeliai (3 pav.). Ta-čiau yra ir įanglintų konkrecijos vietų, kurios susideda iš ferito ir perlito grūdelių (4 pav.). Taip pat pastebėta vietų, kuriose redukuotos geležies grūdeliai yra susimaišę su lydymo šlaku (5 pav.).

**Metalurginiai šlakai.** Marvelės metalurginio šlako radiniai rodo, kad šioje vietovėje buvo lydo-ma ir apdorojama geležis. Tyrimams vizualiai bu-vo atrinkti penki lydymo šlako pavyzdžiai (bandiniai Nr. 20070717/1, 2, 3, 7 ir Nr. 20081210/ 1), vienas kalviškojo žaizdro šlako gabalėlis (ban-dinys Nr. 20070717/6) ir viena neaiškios kilmės gargažė (bandinys Nr. 20070717/8). Buvo atlikti visų šių bandinių cheminės sudėties tyrimai. Ban-dinių analizių numeriai buvo:



3 pav. Geležies konkrecijos (bandinio Nr. 20070717/4; šlifas 153) mikrostruktūra: ferito grūdeliai (šviesūs) ir lydymo šlakas (pilkas). SEM, bandinys ryškintas  $\text{HNO}_3$  tirpalu.  
A. Selskiene's nuot.



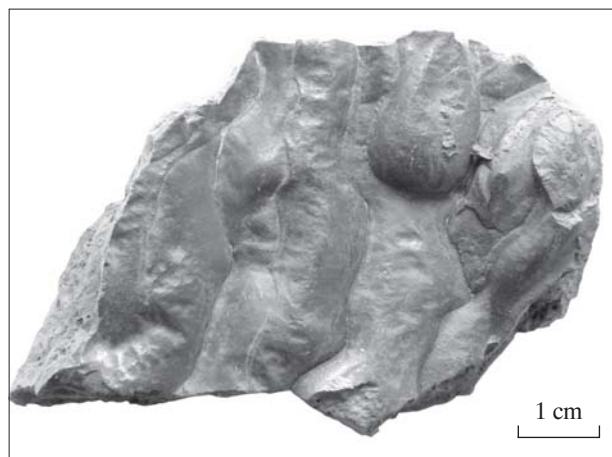
5 pav. Geležies konkrecijos (bandinio Nr. 20070717/4; šlifas 152) mikrostruktūra: redukuotos geležies grūdeliai (šviesūs) susimaišę su lydymo šlaku. Optinis mikroskopas, bandinys ryškintas  $\text{HNO}_3$  tirpalu. A. Selskiene's nuot.



4 pav. Geležies konkrecijos (bandinio Nr. 20070717/2; šlifas 150) mikrostruktūra: ferito grūdeliai (šviesūs), perlitas (šviešiai pilkas) ir šlakas (tamsus). Optinis mikroskopas, bandinys ryškintas  $\text{HNO}_3$  tirpalu. A. Selskiene's nuot.

- lydymo šlako bandinių Nr. 20070717/1, 2, 3,
- 7 – atitinkamai analizės Nr. 298, 299, 300, 302 ir bandinio Nr. 20081210/1 – Nr. 304,
- kalviškojo žaizdro šlako bandinio Nr. 20070717/6 – Nr. 301.

Tirtujų lydymo šlako fragmentų išvaizda yra būdinga rudnelių tekiesiems šlakams, nes jų paviršiuje aiškiai matomos sustingusios šlako sroveles (6 pav.).



6 pav. Marvelė. Tekus lydymo šlakas. Bandinys Nr. 20081210/2. A. Selskiene's nuot.

Metalurginių šlakų cheminės analizės duomenys pateikti 2 lentelėje. Marvelės lydymo šlakų analizė rodo, kad jų cheminė sudėtis yra būdinga tiesioginės geležies gavybos šlakams. Tokie šlakai susidarydavo rudnelėse lydant geležį iš balų ar kitokios rūdos. Palyginti su dauguma Lietuvos teritorijoje rastų ir ištirtų šlakų, Marvelės šlakuose yra aptiktas kur kas didesnis mangano (Mn) kiekis (Navasaitis ir kt., 1999). Matyt, šioje vietovėje ar apylinkėse būta balų rūdos, turinčios daugiau mangano mineralų.

1 lentelė. Marvelės geležies konkrecijų Nr. 20070717/2 (šlifas 150) ir Nr. 20070717/4 (šlifai 152, 153) elementinė sudėtis, %

Elementai	Band. 20070717/2		Band. 20070717/4		Vidurkis	Elementų ribos konkrecijų geležyje (vid.)
	Šlifas 150		Šlifas 152	Šlifas 153		
	Ferite (vid.)	Perlite (vid.)	Ferite (vid.)	Ferite (vid.)		
Fe	99,55	99,61	99,83	99,51	99,63	99,51–99,83
Co	0,169	0,169	0,165	0,154	0,164	0,149–0,174
Cu	–	Péds.	–	0,001	Péds.	Péds.
Ni	0,005	0,006	Péds.	0,002	0,003	0–0,011
As	0,271	0,179	0,005	0,036	0,123	0,005–0,486
P	0,008	0,007	0,003	0,295	0,078	0,002–0,455
S	0,002	0,003	0,012	0,003	0,005	0–0,016
Mn	–	–	0,015	–	–	0–0,037
$\Sigma$	100,005	99,974	100,015	100,001	100,003	–

2 lentelė. Marvelės metalurginių šlakų cheminė sudėtis, %

Analizų Nr. Sudėtis	Tekūs lydymo šlakai			Šlakai, turintys geležies konkrecijų*		Kalviškasis šlakas
	298	302	304	299	300	
FeO	52,96	64,39	66,87	67,71	65,87	59,08
SiO <sub>2</sub>	25,62	16,33	18,92	18,75	19,65	16,13
Al <sub>2</sub> O <sub>3</sub>	2,64	1,59	3,28	2,06	1,25	1,24
CaO	3,72	3,09	2,38	2,43	1,55	1,11
MgO	0,75	0,46	0,25	0,56	0,88	0,59
MnO	6,92	10,58	1,01	4,97	6,14	13,49
P <sub>2</sub> O <sub>5</sub>	1,71	0,91	5,34	1,18	0,80	0,51
K <sub>2</sub> O	0,76	0,48	1,11	0,58	0,25	0,27
Na <sub>2</sub> O	0,23	0,19	0,23	0,16	0,06	0,06
TiO <sub>2</sub>	0,13	0,07	0,16	0,08	0,04	–
BaO	0,46	0,79	0,21	0,28	0,14	0,43
S	0,02	0,01	0,03	0,03	0,02	0,02
Co	0,05	0,06	–	0,06	0,06	0,06
Ni	Péds.	0,01	–	–	Péds.	Péds.
Cu	–	–	–	–	Péds.	–
As	–	–	–	–	–	–
$\Sigma$	96,13	98,95	99,79	98,85	96,76	93,04

\* Tyrimams parinkta šlako vieta be redukuotos geležies.

Tikėtinas kalviškojo žaizdro šlako fragmentas (analizės Nr. 301) savo išvaizda yra panašus į kalviškuosius, tačiau jo sudėtis yra artima lydymo šlakams, todėl negalime tvirtai teigti, kad tai kalviškojo žaizdro šlakas.

**Marvelės gargažė.** Tarp Marvelėje atkastų geležies metalurginio šlako radinių buvo viena gargažė, kuri skyrėsi nuo kitų savo spalva ir išvaizda.

Jos paviršiuje buvo matomas žvirkždas ir organinių medžiagų išspaudai. Gargažė buvo paimta cheminės sudėties tyrimams (suteiktas Nr. 20070717/8, analizės Nr. 303). Cheminė jos sudėtis pateikta 3 lentelėje. Analizės duomenys byloja, kad gargažės cheminė sudėtis yra artima geležies lydymo krosnelių ar kalviškuų žaizdrų, pagamintų iš smėlio ir molio mišinių, sudėčiai. Tikėtina, kad tai

3 lentelė. Gargažės Nr. 20070717/8 (analizės Nr. 303) cheminė sudėtis, %

Sudėtis	Gargažė Nr. 20070717/8	Virbaliūnų rudnelės sienelė (pagal Navasaitis, Selskienė, 2007, 388)	Merkinės rudnios sienelė *
FeO	13,06	Fe <sub>2</sub> O <sub>3</sub> 6,12	Fe 5,48
SiO <sub>2</sub>	60,75	74,27	72,52
Al <sub>2</sub> O <sub>3</sub>	8,72	10,98	8,16
CaO	6,52	1,06	6,70
MgO	3,76	1,48	1,96
MnO	0,82	0,11	0,17
P <sub>2</sub> O <sub>5</sub>	0,38	0,45	0,72
K <sub>2</sub> O	2,38	3,88	–
Na <sub>2</sub> O	0,20	0,61	0,92
TiO <sub>2</sub>	0,54	0,56	0,28
BaO	0,08	0,18	0,07
S	0,01	–	–
Co	0,02	–	–
Σ	97,24	99,69	96,98 (99,32)

\* Atsitiktinis J. Navasaičio radinys, asmeninis autoriaus archyvas.

išlikusi rudnelės statybai skirta medžiaga. Svarbu paminėti, kad į rudnelių sienelių mišinius būdavo primaišoma šiaudų arba stambios žolės. Taigi jų pėdsakai galėjo išlikti gargažės paviršiuje. Palyginimui lentelėje pateikiamos Virbaliūnų rudnelės ir Merkinės rudnios sienelių sudėtys.

## ĮMOVINIAI KIRVIAI

**Kirvis 1405-K.** Kirvio masė – 589 g, išorė buvo pasidengusi storu rūdžiu sluoksniu. Įmovoje prie vidinių sienelių buvo išlikusių suakmenėjusių medienos liekanų. Bendras kirvio vaizdas parodytas 7 pav. Tyrimams paruošti bandiniai: išilginis pjūvis Nr. 1405-K/1, ašmenų bandinys 1405-K/2 ir įmovo bandinys 1405-K/3.

Kirvio išilginame pjūvyje (1405-K/1) galima įžiūrėti unikalią jo sandarą: centrinę kirvio dalį gaubia trijų keturių milimetru storio (vietomis su storėjantis iki penkių šešių milimetru) išorinis sluoksnis, kuris viršuje baigiasi kirvio įmova. Išorinis sluoksnis kalviškuoju būdu yra privirintas prie centrinės dalies. Suvirinimo siūlė labai koky-

biška, tiktai ties įmova yra likęs 15–25 mm ilgio tarpelis, užsipildęs šlaku. Ašmenų link išorinis sluoksnis laipsniškai plonėja ir baigiasi maždaug 15 mm nepasiekęs smaigilio. Tačiau nežinia, kiek ašmenys yra sutrumpėję dėl korozijos.

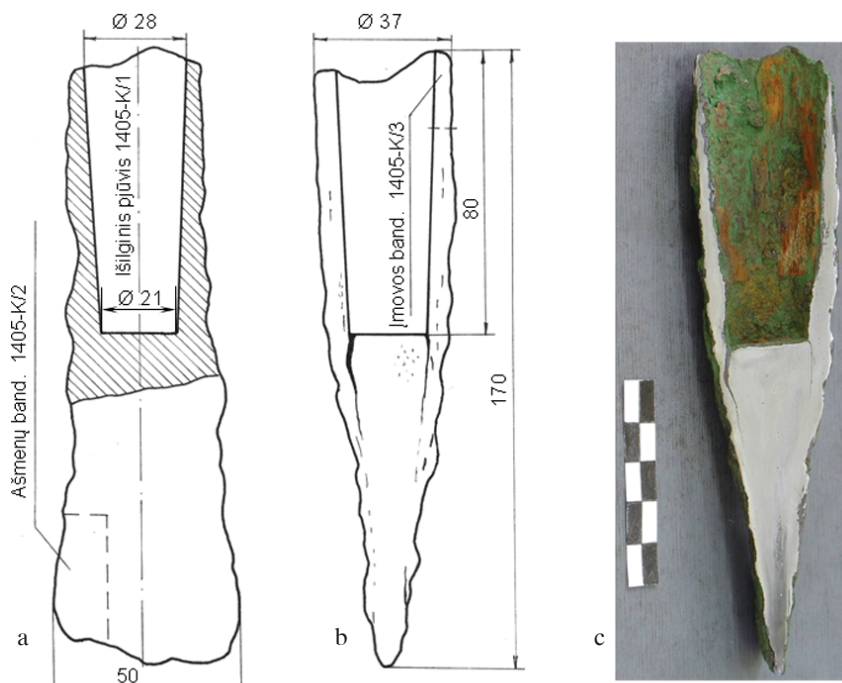
Metalografinis tyrimas parodė, kad centrinėje kirvio dalyje geležis yra žymiai daugiau įanglinia nei išoriniame sluoksnnyje. Nors geležies įanglinimas labai netolygus, tačiau aiškiai matomas anglingumo didėjimas einant nuo įmovo ašmenų link (7:c, 8:a pav.). Maždaug 30–35 mm gylyje nuo smaigilio anglies kiekis geležyje pasieka 0,8%. Tokio anglingumo plienas gerai grūdinamas, o tuo pasinaudojo kirvij gaminės meistras. Ašmenų struktūra yra sorbitinė (kietumas siekia apie HB 318), liudijanti, kad kirvis buvo grūdintas. Kirvio kietumo matavimų rezultatai pateikti 4 lentelėje, o kietumo kitimas ašmenyse parodytas grafike (8:b pav.). Centrinės kirvio dalies, esančios arčiau įmovo, taip pat ir išorinio sluoksnio anglingumas svyruoja maždaug nuo 0 iki 0,4–0,5% C. Mikrostruktūrą šiose vietose sudaro feritas ir perlitas. Ašmenų sandaros schema ir jų mikro-

struktūra (apie 25 mm nuo smaigalio) parodyta 9 ir 10 paveiksluose. Kirvio metalinėje matricoje yra metalurginio šlako intarpelių (11 pav.), kurie neišvengiami kalviškojoje geležyje. Tačiau jų yra nedaug ir kirvio mechaninių savybių nemenkina. Geležies įanglinimas įmovos dalyje (bandinys 1405-K/3) labai įvairus. Anglies kiekis čia svyruboja maždaug nuo 0,05 iki 0,7%, kartu kinta ferito ir perlito santykis struktūroje. Įmovoję yra palyginti daug šlako intarpelių ir tuštumelių. Matyt, įmovos metalo kokybei buvo skiriama mažiau dėmesio.

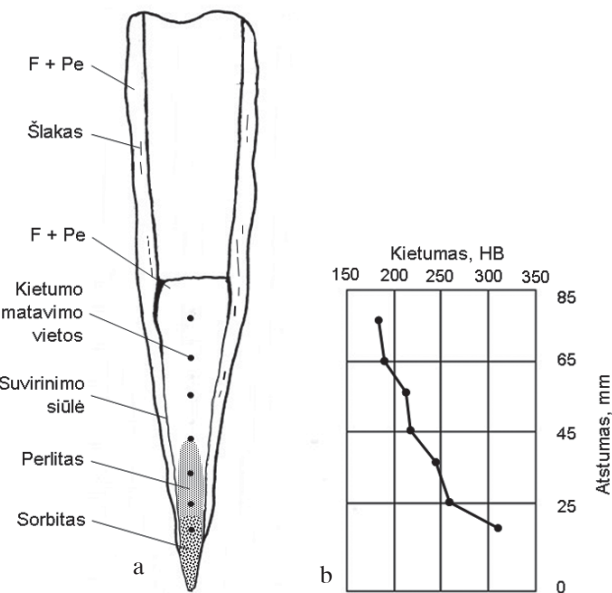
Kirvio elementinės sudėties tyrimų rezultatai rodo (5 lent.), kad ašmenyse, ir centrinėje dalyje, ir kraštuose, yra aptikta labai mažai vario ir nikelio. Vidutinė vario koncentracija sudaro 0,006% Cu, svyruboja nuo 0 iki 0,023 %. Vidutinė nikelio koncentracija siekia 0,007% Ni, ribos – nuo 0 iki 0,025%. Tačiau kalviškojo suvirinimo siūlėse vario ir nikelio koncentracija pastebimai išauga: Cu iki 0,016–0,031%, Ni iki 0,053–0,079%. Taip pat labai mažai pastebėta ir sieros: 0–0,003% S. Kirvio centrinė dalis turi daugiau fosforo (0,061–0,184% P), palyginti su jo

4 lentelė. Kirvio 1405-K kietumo matavimų rezultatai

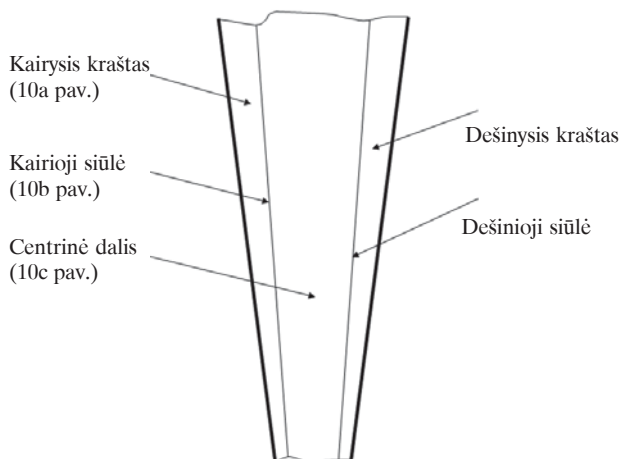
Atstumas nuo ašmenės	Kietumas, HRC	Kietumas, HB	Kietumas $HV_{200}$ , MPa
10	–	318	3360
25	25	255	–
35	24	247	–
45	18	217	–
55	14	207	–
65	–	187	–
75	–	183	1920



7 pav. Kirvio 1405-K bendras vaizdas ir pjūvis: a – vaizdas iš plačiojo šono, b – išilginis pjūvis 1405-K/1 (nebrūksniuotas), pjūvyje parodytas stambiuju šlako intarpų išsidėstymas, c – išilginio pjūvio vaizdas; paviršius poliruotas ir ēsdintas  $\text{HNO}_3$  tirpalu. Išryškėjė įanglinta (iki 0,8%) ašmenų dalis (tamsesnė). M. Bertašiaus nuot.



8 pav. Kirvio 1405-K mikrostruktūros schema ir ašmenų kietumo grafikas: a – mikrostruktūra ir kietumo matavimo vietas, b – ašmenų kietumo grafikas.

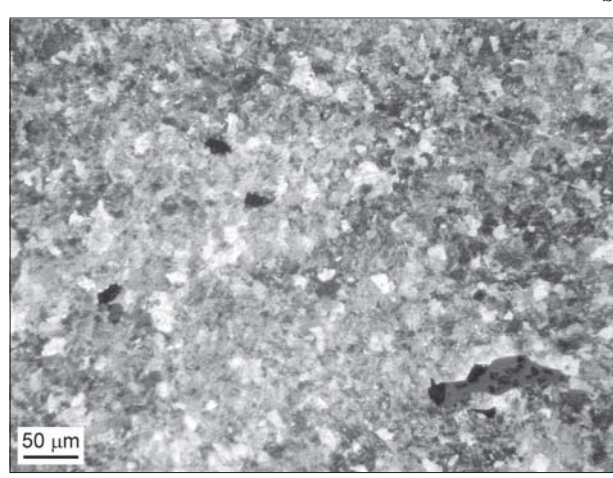
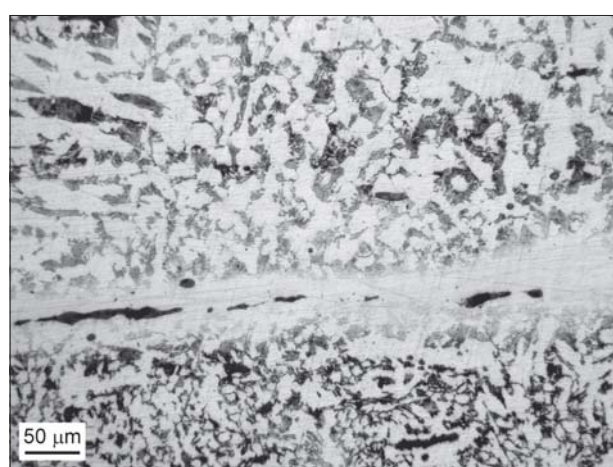
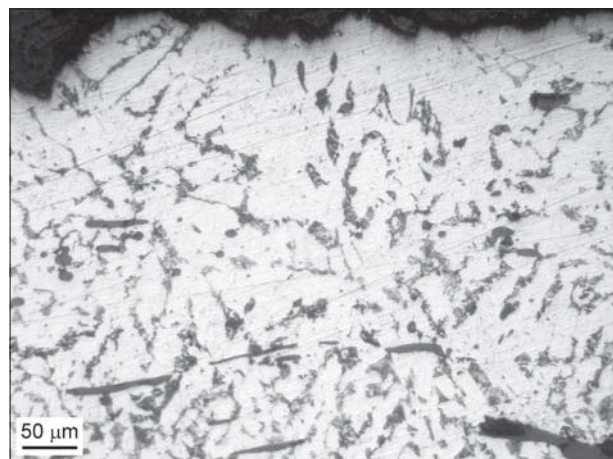


9 pav. Ašmenų bandinio 1405-K/2 schema (mikrostruktūros parodytos 10 paveiksle) a, b, c.

kraštais (0,003–0,009% P). Tai patvirtina mintį, kad ši kirvio dalis yra suformuota iš atskirai išlydyto, o gal rūpestingai atrinkto tinkamai įanglinčios geležies gabalo. Kita vertus, įmovos bandinyje 1405-K/3 fosforo aptikta taip pat palyginti daug (apie 0,102%), bet, matyt, fosforo kiekis padidėja atsitiktinai dėl jo segregacijos.

Labai panašus kobalto (0,146–0,185% Co) ir arseno (apie 0,037–0,176% As) kiekis visose kirvio vietose (išskiriant suvirinimo siūles) leidžia manyti, kad geležis jo gamybai buvo išlydyta iš vieno rūdos šaltinio. Įdomu, kad kirvio centrinė dalis, palyginti su kraštais, yra labiau įanglinta (ašmenyse iki 0,7–0,8%) ir turi daugiau fosforo (0,061%–0,184%). Tikėtina, kad tokia geležis buvo išlydyta kiek aukštesnėje temperatūroje nei įprastai, nes kylant temperatūrai geležies įsiangrinimo intensyvumas didėja, tačiau kartu padidėja redukuoto fosforo kiekis (jeigu jo yra rūdoje). Antra vertus, fosforo koncentracija, esanti kirvio 1405-K geležyje, nėra žalinga. Atvirkščiai, ribotas fosforo kiekis (maždaug iki 0,2%) didina geležies kietumą, nekeldamas trapumo pavojaus.

**Kirvis 1414-K.** Kirvio masė – 886 g, išorė padengta rūdžių sluoksniu. Įmovoje yra kirvio koto liekanų. Bendras kirvio vaizdas parodytas 12 pav. Tyrimams paruošti bandiniai: išilginio pjūvio



10 pav. Kirvio 1405-K ašmenų mikrostruktūra: a – kirvio pakraštys: feritas (šviesus) su perlitu (pilkas), b – kalviškojo suvirinimo siūlė (šviesi, tamsūs – šlako intarpai), c – ašmenų centrinė dalis (sorbitas). Optinis mikroskopas, bandinys ės-dintas  $\text{HNO}_3$  tirpalu. A. Selskiene's nuotr.



11 pav. Metalurginių šlakų intarpai kirvio 1405-K ašmenyse. Optimis mikroskopas, bandinys neryškintas. A. Selskiene's nuotr.

5 lentelė. Kirvio 1405-K elementinė sudėtis, %

Elementas	Ašmenų bandinys 1405-K/2						Įmovo bandinys 1405-K/3	Suvirinimo siūlės		
	Išorinis sluoksnis, kairysis		Išorinis sluoksnis, dešinysis		Centrinė dalis					
	Vidur-kis	Ribos	Vidur-kis	Ribos	Vidur-kis	Ribos		Vi-durkis	Ribos	
Fe	98,77	98,62–99,02	97,81	97,25–98,24	98,40	97,92–99,9	99,71	99,65–99,77	97,86	97,44–98,25
Co	0,183	0,181–0,185	0,165	0,163–0,171	0,173	0,168–0,177	0,155	0,146–0,166	0,205	0,194–0,214
Cu	—	—	0,004	0,003–0,004	0,002	0–0,005	0,001	0–0,002	0,020	0,016–0,031
Ni	0,003	0–0,007	0,005	0,002–0,009	0,003	0–0,015	0,001	0–0,002	0,065	0,053–0,079
As	0,150	0,104–0,176	0,071	0,046–0,087	0,127	0,106–0,150	0,037	0,012–0,071	0,596	0,466–0,661
P	0,009	0,005–0,012	0,008	0,003–0,011	0,102	0,061–0,184	0,102	0,072–0,123	0,018	0,005–0,034
Mn	—	—	—	—	0,013	0,009–0,018	—	—	—	—
S	0,002	0,001–0,002	—	—	0,002	0–0,003	—	—	—	—
Σ	99,12	—	98,06	—	98,82	—	100,01	—	98,76	—

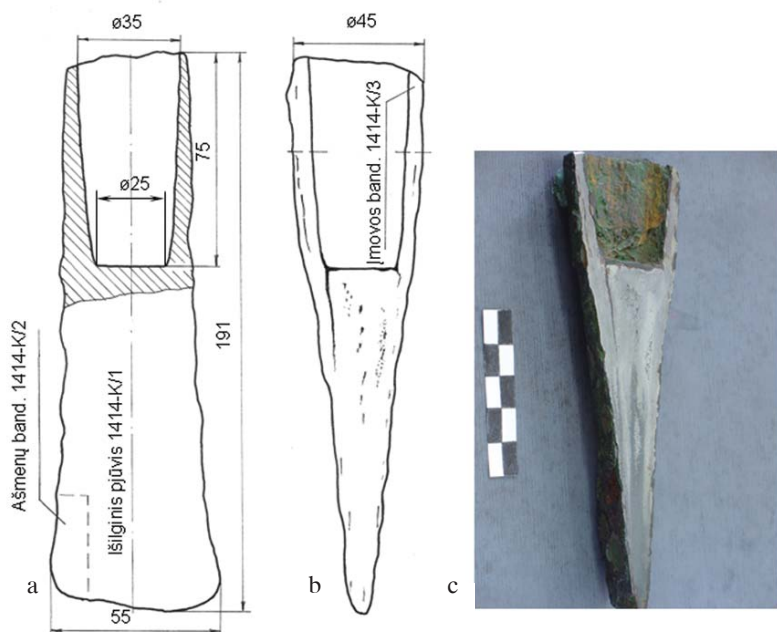
1414-K/1, ašmenų bandinys 1414-K/2 ir įmovo bandinys 1414-K/3.

Kirvio išilginio pjūvio struktūra rodo, kad jo sandara yra analogiška kirviui 1405-K, t.y. centrinę kirvio dalį gaubia išorinis 4–5 mm storio sluoksnis, iš kurio suformuota ir įmova (12 pav.). Centrinės dalių mikrostruktūroje ryškiai matomas geležies įanglinimo netolygumas, turintis aiškią tendenciją didėti ašmenų smailiojo galo kryptimi. Ašmenyse apie 40–50 mm atstumu nuo smaigalio anglies koncentracija pasiekia 0,7–0,8%, todėl čia yra ištisinė perlitinė matrica, o gale matyti sorbitinė ir trostitinė struktūra, liudijanti, kad kirvio ašmenys buvo grūdinti. Tai patvirtina ir ašmenų kietumas, siekiantis HB

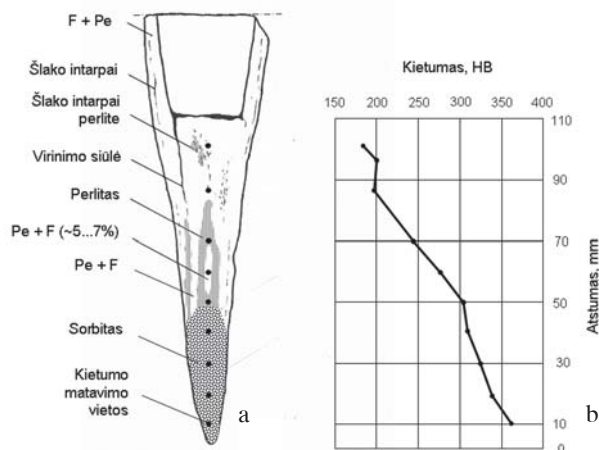
331–363 (13 pav. ir 6 lent.). Kirvio įmovos ir išoriniai sluoksniai įanglini daug mažiau ir netolygiai. Tarp išorinių sluoksninių ir centrinės ašmenų dalių matyti kalviškojo suvirinimo siūlė, tačiau suvirinta taip meistriškai, kad daugelyje vietų siūlė yra sunkiai pastebima, net ir tyrinėjant mikroskopu. Nepaisant gero, rūpestingo geležies iškalimo, metalinėje kirvio matricoje yra likę ne mažai šlako intarpų. Stambesnieji intarpai matomi net makrostruktūroje (12:c ir 13:a pav.). Suvirinimo siūlių išsidėstymas ir metalinės matrīcos sudėtis rodo, kad centrinė kirvio dalis ir jį gaubiantis išorinis sluoksnis su įmova yra padaryti iš atskirų ruošinių.

Skersiniame įmovo pjūvyje galima ižiūrėti kalviškojo suvirinimo siūlę. Dėl stipraus korozijos poveikio didelė siūlės dalis surūdijo, tačiau matyti, kad įmova buvo kalviškuoju būdu patvariai suvirinta. Suvirinimo siūlės mikrostruktūra parodytą 14 pav.

Kirvio 1414-K elementinės sudėties rezultatai (7 lent.) rodo, kad jie yra pakankamai artimi kirvio 1405-K sudėciai. Tieki vieno, tieki kito kirvio dauguma elementų kinta maždaug tose pačiose ribose, tačiau galima pastebeti, kad kirvyje 1414-K arseno yra pastebimai mažiau, o vario ir nikelio – nežymiai daugiau. Centrinėje kirvio dalyje aptikta siek tiek mangano (vid. 0,016%). Elementinė kirvio 1414-K sudėtis yra artima Marvelės konkrecijų sudėciai.



12 pav. Kirvio 1414-K bendras vaizdas ir pjūvis: a – vaizdas iš plokščiojo šono, b – išilginis pjūvis 1414-K/1 (nebrūkšniotas), parodytas stambiuju šlako interpu išsidėstymas, c – kirvio išilginio pjūvio nuotrauka. Pjūvio paviršius poliuotas ir ésdintas  $\text{HNO}_3$  tirpalu. Matyt ianglinta (iki 0,8 %) ašmenų dalis (tamsi). M. Bertašiaus nuotr.



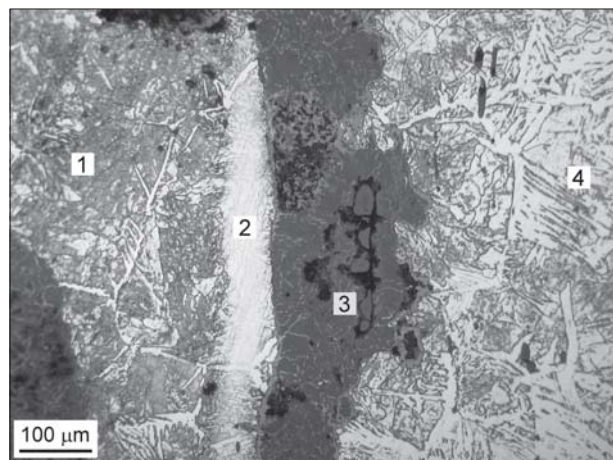
13 pav. Kirvio 1414-K mikrostruktūros schema ir ašmenų kietumo grafikas: a – mikrostruktūros schema ir kietumo matavimo vietos, b – ašmenų kietumo grafikas.

**Kirvis 1357-K.** Kirvio masé – 1045 g, jis stipriai paveiktas korozijos. Ruošiant bandinius tyrimams rūdys daugelyje vietų savaime nubyréjo. Kirvio ašmenys ir bendras vaizdas pateikti 15 pav. Paruošti bandiniai: išilginis pjūvis 1357-K/1, ašmenų bandinys 1357-K/2 ir imovos bandinys 1357-K/3.

Kirvio išilginame pjūvyje (15:b ir 16:a pav.) gerai matoma jo sandara, kuri yra analogiška kirviams 1405-K bei 1414-K. Nepaisant to, kad šis kirvis yra žymiai ilgesnis už pirmuosius du, jį taip pat sudaro centrinė dalis ir ją gaubiantis išorinis sluoksnis, kuris viršutinėje dalyje baigiasi išmova. Kirvio struktūros schema ir kietumas išilginame pjūvyje 1357-K/1 parodyti 16 pav. Kaip ir kitų kirvių, jo kietumas išmatuotas Rokvelo (HRC) metodu. Matavimo duomenys HRC ir HB vienetais pateikti 8 lentelėje. Centrinė kirvio dalis ianglinta labai netolygiai, o tai būdinga kalviškosios geležies dirbiniams, tačiau ašmenų gale anglies koncentracija yra didžiausia ir siekia 0,7–0,8 %. Ašmenų kietumas rodo, kad kirvis buvo grūdintas.

Ašmenų galio kietumas siekia HB 327-341 (16:b pav. ir 8 lent.).

Ašmenų bandinyje (1357-K/2) lengvai pastebimos kalviškojo suvirinimo siūlės (šviesios), jungiančios išorinį sluoksnį su centre kievinė dalimi



14 pav. Kirvio imovos skerspjūvio mikrostruktūra (bandinys 1414-K/3): 1 – vidinė imovos dalis (perlitas ir feritas), 2 – suvirinimo siūlė, 3 – rūdys, 4 – išorinė imovos dalis (feritas ir perlitas). Optinis mikroskopas, bandinys ésdintas  $\text{HNO}_3$  tirpalu. A. Selskiénės nuotr.

6 lentelė. Kirvio 1414-K kietumo matavimai

Atstumas nuo ašmenų, mm	Kietumas, HRC	Kietumas HV <sub>200</sub> , MPa	Kietumas, HB
100	9	–	187
95	13	–	201
85	12	–	197
70	22	–	238
60	28	–	277
50	31	–	302
40	32	–	311
30	–	3201	321
20	–	3343	331
10	–	3846	363
Įmovos sienelėje	–	2484–2524	248–251

ištirta suvirinimo siūlių sudėtis. Apibendrinti kirvio elementinės sudėties duomenys pateikti 9 lentelėje. Šio kirvio sudėtyje nustatytas didžiausias mangano kiekis, centrinėje kirvio dalyje siekiantis vid. 0,053%. Mangano priemaišų į geležį galėjo patekti lydant palyginti daug mangano turinčią rūdą. Tačiau elementinės sudėties tyrimo rezultatai rodo, kad kirvio 1357-K elementinė sudėtis yra artima Marvelėje rastų geležies konkrečijų sudėčiai. Tai duoda pagrindo daryti prielaidą, kad šis kirvis yra taip pat vietinės gamybos produktas.

Aptariant Marvelėje rastų kirvių tyrimo rezultatus būtina pažymėti, kad visų kirvių centrinėse dalyse yra aptiktas nedidelis mangano kiekis (kai

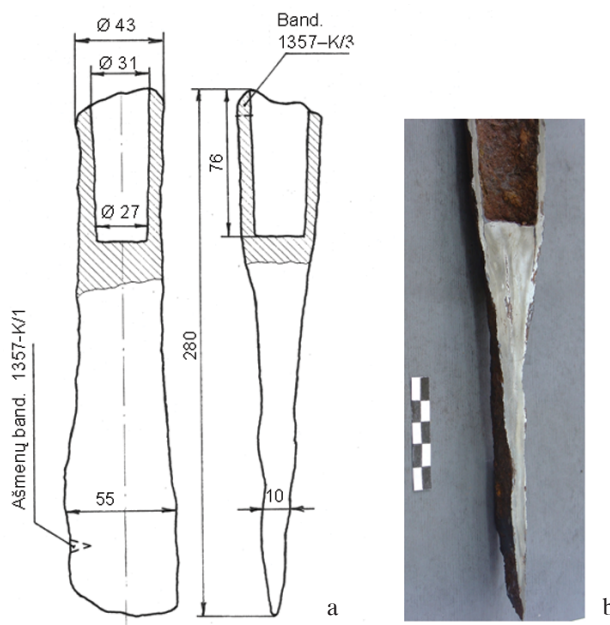
7 lentelė. Kirvio 1414-K elementinė sudėtis, %

Elementas	Ašmenų bandinys 1414-K/2						Įmovos bandinys 1414-K/3	Suvirinimo siūlės		
	Išorinis sluoksnis, kairysis		Išorinis sluoksnis, dešinysis		Centrinė dalis					
	Vidur-kis	Ribos	Vidur-kis	Ribos	Vidur-kis	Ribos		Vidur-kis	Ribos	
Fe	98,70	98,55–98,85	98,26	97,74–98,55	98,45	96,28–100	99,61	99,37–99,78	98,54	
Co	0,184	0,181–0,186	0,178	0,164–0,189	0,184	0,176–0,193	0,187	0,165–0,199	0,233	
Cu	0,007	0,006–0,009	0,001	0–0,002	0,001	0–0,004	0,004	0–0,008	0,012	
Ni	0,005	0,003–0,008	0,011	0–0,018	0,010	0–0,019	0,015	0,001–0,026	0,037	
As	0,027	0,023–0,031	0,045	0,016–0,079	0,041	0,008–0,10	0,070	0,010–0,179	0,212	
P	0,010	0,003–0,018	0,060	0,006–0,124	0,072	0,006–0,155	0,073	0,027–0,151	0,031	
Mn	–				0,016	0,008–0,027				
Σ	98,93		98,56		98,87		99,96		99,1	

(17 pav.). Centrinės kirvio dalies viršus kaip mažiausiai reikšminga vieta yra menkiausiai iškaltas, čia matome didžiausias šlako intarpų sankaupas. Dalis intarpų yra stambūs ir ilgi. Taip pat labai toli žemyn nuo įmovos nusitęsia ir nesusivirinus, tik šlaku užpildyta siūlės dalis, einanti tarp centro ir išorinių kirvio sluoksnių. Tačiau tai nemenkina nei mechaninių, nei funkcinių kirvio savybių.

Kirvio elementinė sudėtis buvo nustatyta ašmenų 1357-K/2 ir įmovos bandinyje 1357-K/3. Analizuojant bandinį 1357-K/2 buvo ištirtos ašmenų pakraščių zonas ir centrinė dalis, atskirai

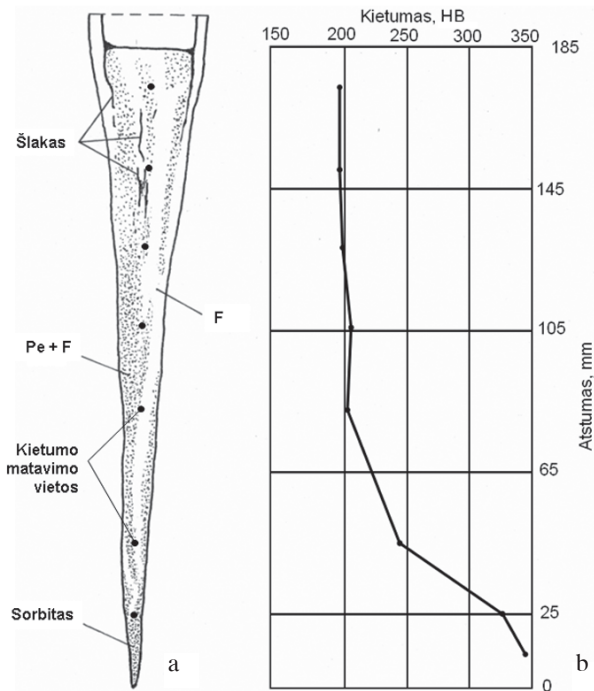
kur iki 0,1%). Manganas néra būdingas kalviškajai geležiai, tačiau ižvertinant didelį mangano oksido kiekį, nustatytą dalyje Marvelės šlakų, galima pagrįstai teigti, kad šioje vietovėje bent dalis geležies buvo išlydyta iš mangano turinčios rūdos. Nors manganas su deguonimi sudaro patvaresnius junginius nei geležis, tačiau esant palankioms redukavimo sąlygomis dalis mangano, matyt, redukavosi ir pateko į atgaivintą geležį. Manganas yra pageidautina geležies priemaiša, nes sudarydamas su ja kietąjį tirpalą padidina geležies stiprumą. Marvelės šlakuose, taip pat ir kirviuose aptiktas



15 pav. Kirvio 1357-K bendras vaizdas ir pjūvis: a – kirvio matmenys, b – kirvio išilginio pjūvio nuotrauka. Pjūvio paviršius poliruotas ir ēsdintas  $\text{HNO}_3$  tirpalu. M. Bertašiaus nuotr.

8 lentelė. Kirvio 1357-K kietumas išilginiame pjūvyje

Atstumas nuo ašmenų, mm	Kietumas, HRC	Kietumas, HB
170	11	192
153	10	190
128	12	197
105	15	212
83	14	207
47	21	235
25	34	327
12	36	341



16 pav. Kirvio 1357-K mikrostruktūros schema ir kietumo grafikas: a – mikrostruktūros schema ir kietumo matavimo vietas, b – ašmenų kietumo grafikas.

manganas padidina tikimybę, kad šie kirviai yra pagaminti Marvelėje iš vietinės geležies.

Tyrimais nustatoma kirvių gamybos technologija. Centriniai dalių ir įmovų bei paviršiaus sluoksniai elementinės sudėties skirtumai, taip pat suvirinimo siūlės, prasidedančios nuo įmovo ir einančios korpusų šonais ašmenų galų link, rodo, kad jie yra nukalti iš dviejų dalių. Gausiai įanglinčios vidurinės kirvių dalys (ašmenys) yra apgaubtos

9 lentelė. Kirvio 1357-K apibendrinta elementinė sudėtis, %

Ele- mentas	Kirvio 1357-K ašmenų (band. 1357-K/2)				Įmovos (band. 1357-K/3)		Suvirinimo siūlės	
	Išorinis sluoksnis		Centrinė dalis		Vidurkis	Ribos	Vidurkis	Ribos
	Vidurkis	Ribos	Vidurkis	Ribos				
Fe	99,75	99,69–99,79	99,71	99,64–99,75	99,78	99,75–99,82	99,60	99,55–99,62
Co	0,175	0,168–0,181	0,172	0,165–0,179	0,169	0,165–0,172	0,189	0,187–0,191
Cu	–	–	–	–	Pėds.	–	–	–
Ni	0,004	0–0,006	Pėds.	–	0,001	0–0,004	0,013	0,011–0,015
As	0,063	0,038–0,128	0,043	0,033–0,53	0,026	0,010–0,043	0,205	0,181–0,250
P	0,009	0,002–0,017	0,025	0,012–0,041	0,006	0,004–0,009	0,004	0,003–0,005
Mn	0,005	0–0,010	0,053	0,021–0,113	0,020	0,005–0,041	–	–
S	0,001	0–0,001	–	–	–	–	0,001	–
$\Sigma$	100,007	–	100,003	–	100,002	–	100,012	–



17 pav. Kirvio 1357-K ašmenų bandinio sandara: suvirinimo siūlės (šviesios), jungiančios centrinių ir išorinę kirvio dalis, matyti šlakų virtinėlė (tamsūs). Bandinis poliruotas ir ēsdintas  $\text{HNO}_3$  tirpalu. A. Selskienės nuotr.

rūpestingai privirintomis išorinėmis dalimis, iš kurių suformuotos įmamos ir kirvių šonai. Kirvių ašmenys yra termiškai kietinti (grūdinti), tai padaro ašmenis reikiama kietumo, o minkštessni išoriniai sluoksniai apsaugo juos nuo trapumo, bet palaiko stiprumą. Tai ypač svarbu ilgajam kirviui (1357-K).

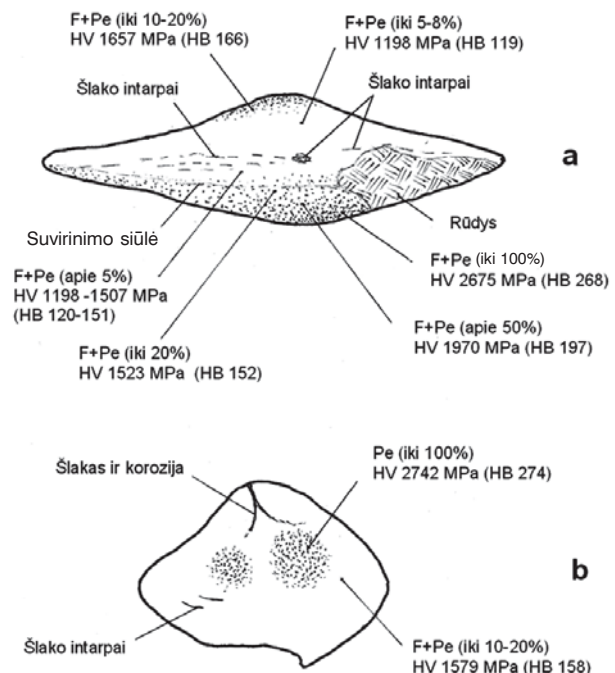
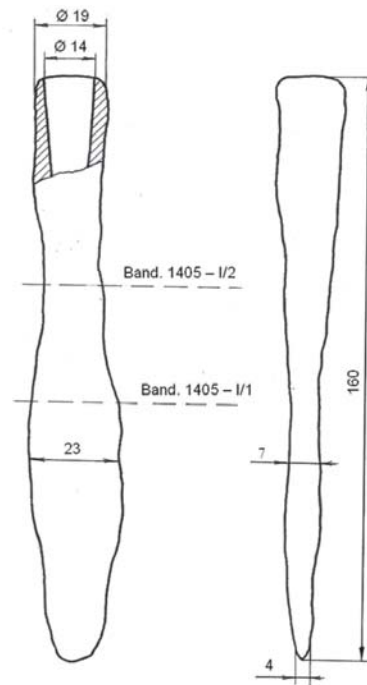
Kirvių sudėtis, jų struktūra, forma ir puiki gamyba rodo didelį juos gaminusių kalvių meistriškumą.

## IETIGALIAI

**Ietigalis 1405-I.** Ietigallo masė – 78 g, jis stipriai paveiktas korozijos. Tyrimams buvo paruošti du bandiniai (18 pav.): skerspjūvis per plunksnā – 1405-I/1, prie įmamos – 1405-I/2.

Metalografinis ietigallo tyrimas parodė, kad plunksna (band. 1405-I) yra suformuota iš nevienodai įanglintos geležies. Anglies kiekis geležyje svyruoja maždaug nuo 0,01% iki 0,8%, todėl plunksnos mikrostuktūroje yra matoma labai įvairaus san-

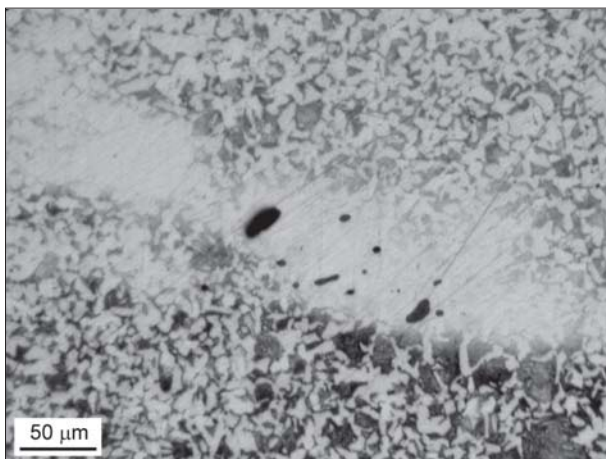
tykio ferito ir perlito – nuo beveik gryno ferito iki šimtaprocentinio perlito (19 pav.). Dėl šios priežasties plunksnos kietumas skerspjūvyje svyruoja nuo  $\text{HV}_{200}$  1198 MPa (HB120) iki  $\text{HV}_{200}$  2675 MPa (HB268). Skersiniame plunksnos pjūvyje taip pat yra matoma kalviškojo suviri-nimo siūlė, skrianti skirtingai įanglintus geležies sluoksnius 18 pav. Ietigallo 1405-I bendras vaizdas.



19 pav. Ietigallo 1405-I mikrostruktūros ir mikrokietumo mata-vimų schema (padidinta apie 5 kartus): a – plunksnoje (bandinys 1405-I/1), b – tarp įmamos ir plunksnos (bandinys 1405-I/2).

10 lentelė. Apibendrinti ietigalio 1405-I elementinės sudėties analizių rezultatai, %

Elementas	Bandinys 1405-I/1		Bandinys 1405-I/2		Vidutinė reikšmė dirbiniui		Suvirinimo siūlė
	Vidurkis (13 matav.)	Ribos	Vidurkis (5 matav.)	Ribos	Vidurkis	Ribos	
Fe	99,40	98,97–99,65	99,35	98,98–99,51	99,386	98,97–99,65	98,29
Co	0,160	0,152–0,168	0,158	0,154–0,166	0,159	0,152–0,168	0,180
Cu	0,002	0–0,008	0,003	0–0,009	0,002	0–0,009	0,014
Ni	0,003	0–0,012	0,003	0–0,011	0,003	0–0,012	0,023
As	0,384	0,175–0,804	0,426	0,271–0,830	0,396	0,175–0,830	1,478
P	0,056	0,029–0,164	0,057	0,009–0,098	0,056	0,009–0,164	0,018
S	Pėds.	0–0,002	0,003	0–0,006	0,002	0–0,006	–
$\Sigma$	100,005		100,000		100,003		100,003



20 pav. Ietigalio 1405-I suvirinimo siūlė (šviesi) plunksnos mikrostruktūroje. Optinis mikroskopas, bandinys ēsdintas  $\text{HNO}_3$  tirpalu. A. Selskiénės nuotr.

(20 pav.). Geležies elementinė sudėtis abejose siūlės pusėse yra beveik vienoda, neskaitant skirtingų anglies koncentracijų, todėl tikétina, kad siūlė susidarė kalviui sąmoningai išplojant, sulenkiant ir suvirinant nevienodo anglingumo geleži, siekiant pagerinti plunksnos mechanines savybes. Beje, nevienodas geležies žanglinimas (maždaug nuo 0,05% C iki 0,8% C) nustatytas taip pat ir bandinyje 1405-I/2, išpjautame prie ietigalio įmovos. Tačiau šiame bandinyje žanglinta geležis yra matoma tiktais dviejuose koncentruotuose ploteliuose ir tame nėra jokių suvirinimo siūlių (19:b pav.).

Ietigalio elementinės sudėties analizių rezultatai, pateikti 10 lentelėje, rodo, kad jo sudėtis yra

artima Marvelės geležies konkrecijų. Todėl galima daryti pagrįstą išvadą, kad tiriamasis ietigalis yra pagamintas šioje vietovėje iš vietinės geležies. Be to, abiejuose ietigalio pjūviuose (band. 1405-I/1 ir 1405-I/2) geležis yra beveik vienodos sudėties (neskaitant žanglinimo). Tai rodytų, kad jis yra nukaltas iš vieno geležies ruošinio jį lankstant ir formuojant. Įdomu paminėti, kad suvirinimo siūlėje elementų As, Co, Cu, Ni koncentracija yra padidėjusi, o fosforo (P) – sumažėjusi (10 lentelė), bet tai yra išprastas kalviškojo suvirinimo siūlės reiškinys.

Plunksnos paviršiniame sluoksnyje iš abiejų šonų yra matomas didesnis, palyginti su gilesniais sluoksniais, geležies žanglinimas. Padidinta anglies koncentracija paviršiniame sluoksnyje perša prie laidą, kad plunksna galėjo būti papildomai žanglinta (cementuota), siekiant padidinti jos kietumą. Tačiau dėl didelės antgalio korozijos neįmanoma nustatyti pirminių cementuoto sluoksnio parametrų.

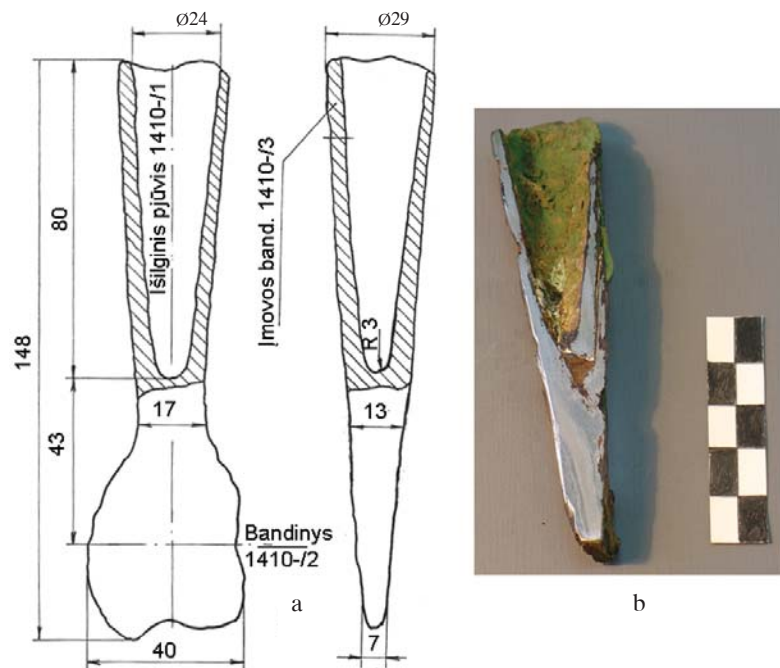
**Ietigalis 1410-I.** Ietigalio masė – 164 g, jis stipriai paveiktas korozijos, be to, didžioji jo plunksnos dalis nulaužta (21 pav.). Tyrimams buvo paruošti trys bandiniai: išilginis pjūvis – 1410-I/1, skerspjūvis per plunksną – 1410-I/2, įmovos bandinys – 1410-I/3.

Išilginiame ietigalio pjūvyje gerai matoma įmovos sandara (21:b ir 22 pav.). Įmovinės dalies makro- ir mikrostruktūra rodo, kad ietigalio metalinė matrica čia yra sluoksniuota, turinti paly-

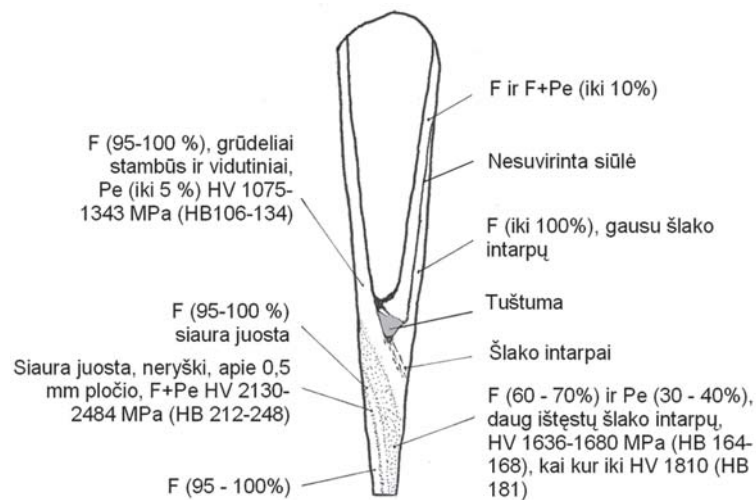
ginti didelį kiekį netolygiai pasiskirsčiusių įvairaus dydžio šlako intarpų. Suvirinimo siūlių tarp sluoksninių nepastebėta. Sluoksninių kryptis ir išsidėstymas atskleidžia įmovos formavimo būdą: ji tik susukta į kūginį vamzdį (tikriausiai naudojant specialų įtvarą) ir palikta nesuvirinta (22 pav.). Gražiai sukalta siūlė yra užsipildžiusi šlaku. Idomu paminėti, kad J. Stankus, tyrinėjės ietigalių gamybos technologiją Lietuvoje IX–XIII a., nurodo, kad jo tyrinėtų ietigalių įmovų skerspjūviuose buvo aiškiai matomas suvirinimo siūlės (Stankus, 1970, 127). Ietigalo geležis įangliniai mažai, todėl perlito kiekis bandinių mikrostruktūroje dažniausiai neviršija 10–15%, tačiau yra vietų, kur jis pasiekia net 30–40%. Ietigalo mikrokietumo matavimai rodo negrūdintos geležies kietumą: ferite – apie HV<sub>200</sub> 1075 MPa (HB106), o daugiau įanglintose vietose – net iki HV<sub>200</sub> 2480 MPa (HB 248).

Ietigallo plunksna yra nukalta iš mažai įanglintos geležies (daugiausia ferito), kurioje taip pat gana gausu šlako intarpų (23 pav.). Analogiška struktūra matoma ir ietigalo įmovoje (24 pav.), tiktais joje yra likę dar daugiau šlako intarpų.

Ietigallo 1410-I elementinės sudėties tyrimai rodo, kad metalo sudėtis čia kiek skiriasi nuo Marvelės geležies konkrecijų. Daugiausia skiriasi arseno ir fosforo koncentracijos. Ietigalo geležyje arsено yra gerokai mažiau (vid. 0,004%), o fosforo – daugiau (vid. 0,382%). Tačiau Marvelės lydymo šlakų sudėtis rodo, kad čia buvo lydomos rūdos, turinčios ir palyginti daug fosforo. Viename šlako bandinyje (analizės Nr. 304) fosforo



21 pav. Ietigalo 1410-I bendras vaizdas: a – ietigalo matmenys, b – išilginio pjūvio per įmovą nuotrauka. Bandinis poliruotas ir ēsdintas HNO<sub>3</sub> tirpalu.  
M. Bertašiaus nuotr.



22 pav. Ietigalo 1410-I mikrostruktūros ir mikrokietumo matavimų išilginame pjūvyje (band. 1410-I/1) schema.

pentoksido aptikta net 5,23%, o arseno vienoje iš konkrecijų (band. Nr. 20070717/4) yra aptikta labai mažai (0,005–0,036%). Taigi tikėtina, kad šis ietigalis vis dėlto buvo pagamintas Marvelėje.

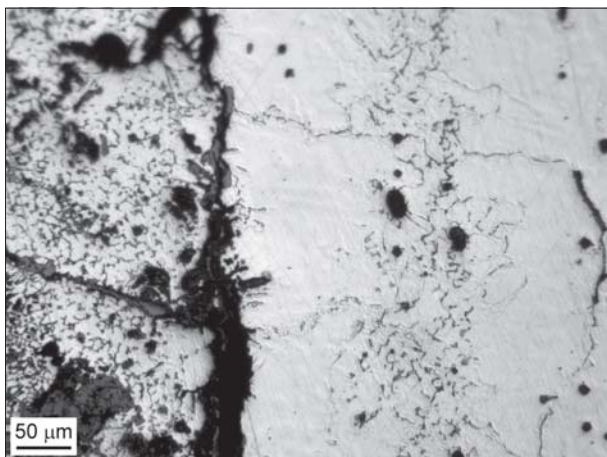
Elementinės sudėties tyrimo rezultatai ir mikronuotraukos rodo didelę fosforo segregaciją

11 lentelė. Ietigalio 1410-I elementinės sudėties analizių apibendrinti rezultatai, %

Elementas	Plunksnos bandinys 1410-I/2		Įmovos bandinys 1410-I/3		Vidutinė reikšmė bandiniui	
	Vidurkis (20 matavimų)	Ribos	Vidurkis (6 matavimai)	Ribos	Vidurkis	Ribos
Fe	99,46	99,05–99,81	99,44	99,22–99,67	99,455	99,05–99,81
Co	0,157	0,151–0,166	0,152	0,148–0,155	0,156	0,148–0,166
Cu	0,002	0–0,004	–	–	0,001	0–0,004
Ni	0,002	0–0,005	–	–	0,001	0–0,005
As	0,004	0–0,016	0,004	0–0,014	0,004	0–0,016
P	0,382	0,025–0,786	0,416	0,183–0,643	0,390	0,025–0,786
Mn	–	–	–	–	–	–
$\Sigma$	100,003		100,012		100,005	



23 pav. Ietigalio plunksnos skerspjūvio (bandinys 1410-I/2) mikrostruktūra. Nuotraukoje matyti sluoksniuota struktūra ir šlako intarpai, taip pat mikrokietumo matavimo pėdsakas (tamsus kvadratėlis). Optimis mikroskopas, bandinys ēsdintas  $HNO_3$  tirpalu. A. Selskiénės nuotr.



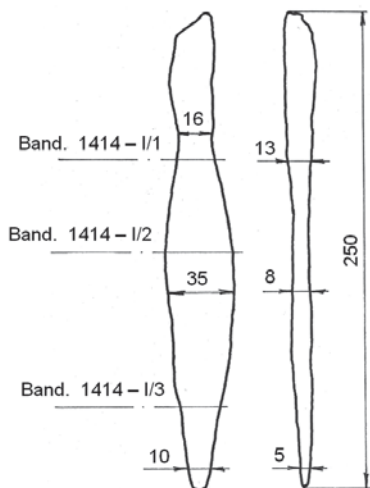
24 pav. Ietigalio įmovos (bandinys 1410-I/3) mikrostruktūra. Optimis mikroskopas, bandinys ēsdintas  $HNO_3$  tirpalu. A. Selskiénės nuotr.

geležyje, kuri turi didelę įtaką dirbinio struktūros nevienodumui ir sluoksniuotumui, kartu ir jo mechaninėms savybėms: stiprumui, kietumui, trapumui. Įdomu, kad ietigalio 1410-I plunksnos ir įmovos elementinė sudėtis yra labai artima (11 lentelė), be to, ietigalio pjūviuose nematyti kalviškojo suvirinimo siūlių, rodančių, kad jis būtų suvirintas iš atskirų dalių, todėl neabejotina, kad visas ietigalis buvo nukaltas iš vieno ruošinio.

**Ietigalis 1414-I.** Ietigalio masė – 169 g, jis stipriai paveiktas korozijos, tyrimų metu buvo atitrūkusi įmovos dalis (bendras jo ilgis siekė 30,5 cm). Įmovinė dalis labai surūdijusi, todėl neįmanoma net apytikriai nustatyti įmovos matmenų (25 pav.). Paruošti trys skerspjūvių bandiniai: pjūvis prie įmovos 1414-I/1, per plunksną 1414-I/2 ir plunksnos smaigalyje 1414-I/3.

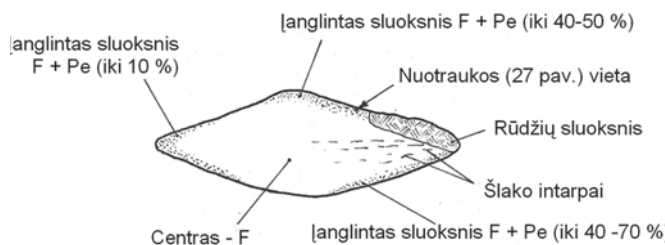
Bandinių 1414-I/1 ir 1414-I/2 mikrostruktūra rodo, kad ietigalis nukaltas iš neįanglintos geležies. Jo metalas yra gerai iškaltas, šlako intarpų geležyje likę palyginti mažai. Daugiausia tai smulkūs taškiniai intarpeliai. Taip pat yra šiek tiek nedidelių pailgų, ištęstų deformacijos kryptimi šlako intarpelių. Metalinę ietigalio matricą sudaro daugiausia ferito grūdeliai, kurių vidutinis mikrokietumas svyruoja nuo  $HV_{200}$  890 MPa (HB 87) iki  $HV_{200}$  1516 MPa (HB 152).

Bandinio 1414-I/3 mikrostruktūros schema parodyta 26 pav. Įdomu, kad pagal bandinio išorinį kontūrą yra aiškiai matomas anglies kiekie geležyje padidėjimas, nes mikrostruktūrą šioje zonoje



25 pav. Ietigalio 1414-I bendras vaizdas.

sudaro feritas ir perlitas. Be to, perlito kiekis pakraščiuose yra didesnis, o einant gilyn į dirbinio centrą jis laipsniškai mažėja, kol visai išnyksta ir lieka tik feritas. Pakraščio sluoksnio mikrostruktūra



26 pav. Ietigalio plunksnos (band. 1414-I/3) mikrostruktūros schema.

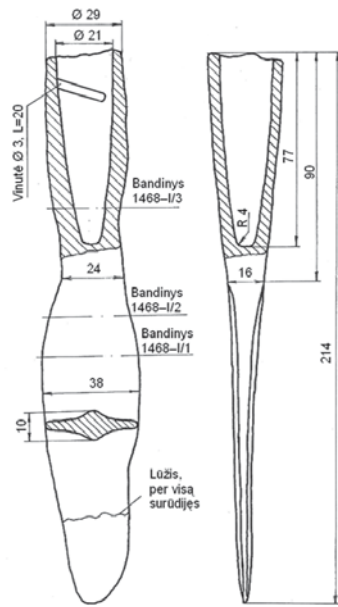
12 lentelė. Apibendrinti ietigalio 1414-I elementinės sudėties analizų rezultatai, %

Elementas	Bandinys 1414-I/3	
	Vidurkis (11 matavimų)	Ribos
Fe	99,49	99,25–9961
Co	0,253	0,240–0,279
Cu	Pėds.	0–0,003
Ni	0,136	0,101–0,190
As	0,029	0,007–0,077
P	0,100	0,017–0,267
$\Sigma$	100,007	

parodyta 27 pav. Įanglinto sluoksnio gylis siekia apie 1,3–1,5 mm. Dėl korozijos poveikio sluoksnio dalis yra suirusi, todėl pirminis jo storis lieka nežinomas. Įanglinto sluoksnelio mikrostruktūra, storis ir išsidėstymas (dirbinio paviršiuje) leidžia pagrįstai manyti, kad ieties antgalio plunksna, bent jos smailusis galas, buvo cementuota, t.y. įanglinta siekiant padidinti jos kietumą. Plunksnos



27 pav. Ietigalio plunksnos (band. 1414-I/3) įanglinto sluoksnio mikrostruktūra. Nuotraukos viršuje – bandinio pakraštys. Optimis mikroskopas, bandinys ēsdintas HNO3 tirpalu. A. Selskienės nuotr.

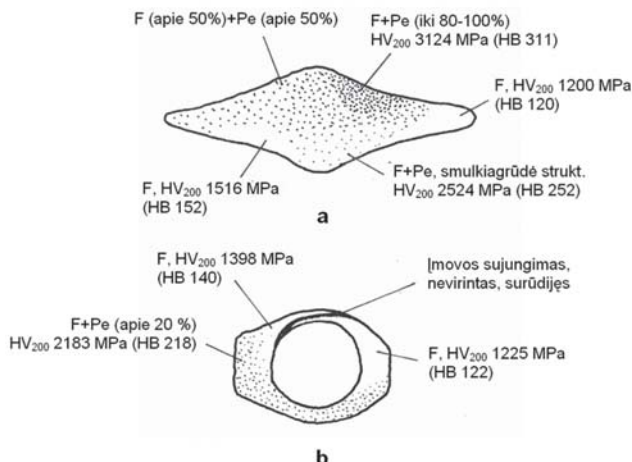


28 pav. Ietiglio 1468-I bendras vaizdas.

kietumas pakraščio sluoksnelyje siekia  $HV_{200}$  1810–1921 MPa (HB 181–192).

Ietigilio sudėties analizų rezultatai rodo, kad jo metalo elementinė sudėtis labai skiriasi nuo Marvelės geležies konkrecijų (1 lent.). Ji taip pat aiškiai skiriasi ir nuo kitų Lietuvos teritorijoje rastų bei ištyrinėtų geležies konkrecijų (Navasaitis ir kt., spaudoje). Pavyzdžiui, kobalto koncentracija šio ietigilio geležyje yra maždaug 35% didesnė už kobalto Marvelės konkrecijose, o nikelio kiekis tiriamame ietigalyje net 20–30 kartų viršija šio elemento kiekį, esantį Marvelės bei kitose Lietuvoje aptiktose geležies konkrecijose. Todėl neabejotina, kad šis antgalis į Marvelės vietovę yra patekęs iš sverutės.

Ietigilio 1414-I mikrostruktūroje nepastebėta kalviškojo suvirinimo siūlių. Jų nerodo ir elementinės sudėties tyrimai. Matyt, ietigalis yra nukaltas iš vieno ištisinio nejanglintos geležies ruošinio.



29 pav. Ietiglio 1468-I mikrostruktūros ir mikrokietumo matavimų schemas: a – plunksnos – bandinys 1468-I/1, b – įmovos – bandinys 1468-I/3.

**Ietigalis 1468-I.** Ietiglio masė – 227 g. Jo plunksna turi standumo briaunas. Ietigalis labai paveiktas korozijos ir storas rūdžių sluoksnis iškraipo jo formą. Išlikusi ietiglio tvirtinimo prie ieties vinutė visiškai surūdijusi ir tyrimams nebebitiko. Iš mažiau surūdijusių ietiglio vietų paruošti bandiniai (28 pav.): du plunksnos skerspjūviai 1468-I/1 ir 1468-I/2, įmovos skerspjūvis 1468-I/3.

Visų trijų ietiglio 1468-I bandinių metalografiniai tyrimai parodė, kad jo metalas yra palyginti gausiai ir gana tolygiai (kaip kalviškosios geležies) įanglintas. Daugelyje vietų anglies kiekis geležyje siekia net 0,4–0,6%. Neįanglintų plotų (feritinė matrix) yra palyginti nedaug (29 pav.). Dėl pakankamai didelio įanglinimo ietiglio kietumas yra santykinių didelis, siekia vidutiniškai

13 lentelė. Apibendrinti ietiglio 1468-I elementinės sudėties analizių rezultatai, %

Elementas	Bandinys 1468-I/1 (pjūvis per plunksnā)		Bandinys 1468-I/3 (pjūvis per įmovą)		Vidutinė reikšmė dirbiniui	
	Vidurkis (12 matav.)	Ribos	Vidurkis (8 matav.)	Ribos	Vidurkis	Ribos
Fe	99,24	98,12–99,96	99,31	98,59–99,61	99,27	98,12–99,96
Co	0,181	0,175–0,190	0,190	0,175–0,216	0,185	0,175–0,216
Cu	0,002	0–0,006	0,004	0–0,009	0,003	0–0,009
Ni	0,022	0,012–0,034	0,031	0,014–0,044	0,026	0,012–0,044
As	0,119	0,049–0,421	0,181	0,076–0,379	0,144	0,049–0,421
P	0,172	0,015–0,641	0,281	0,090–0,802	0,216	0,015–0,802
Mn	–	–	–	–	–	–
$\Sigma$	99,736		99,997		99,844	

apie HV<sub>200</sub> (2183–2524) MPa (HB 218–252). Vienoje tartoje vietoje mikrokietumo matavimas parodė net HV<sub>200</sub> 3124 MPa (HB 311). Tai rodo, kad ietigalis galėjo būti grūdintas.

Ietigallo 1468-I struktūroje nematyti kalviškojo suvirinimo siūlių. Jų neatskleidė nei metalografiniai tyrimai, nei elementinės metalo sudėties analizė. Tikėtina, kad šis ietigalis yra nukaltas iš vieno tinkamai įanglinto geležies gabalo suformuojant plunksnų, įmovą ir plunksnos standumo briaunas. Nukalus, matyt, dar buvo termiškai apdorotas.

Įmovinė ietigallo dalis perdėm surūdijusi, vis dėlto iš jos skerspjūvio (bandinys 1468-I/3) sandaros galima spręsti, kad įmova buvo tiksliai suformuota (kalant ant specialaus įtvarto) ir palikta nesuvirinta (29:b pav.).

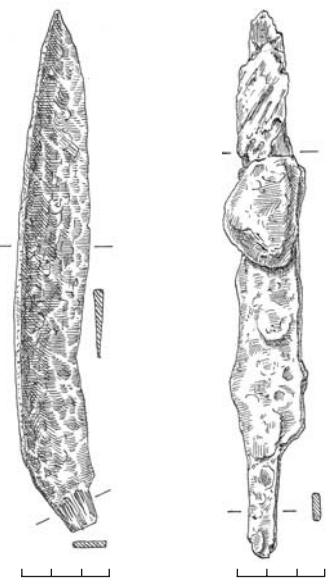
Ietigallo 1468-I elementinės sudėties matavimų apibendrinti rezultatai pateikti 13 lentelėje.

Elementinės sudėties tyrimai rodo didelę fosforo ir arseno segregaciją ietigalyje. Tai apskritai būdinga kalviškajai geležiai. Nedidelė fosforo ir arseno koncentracija padidina geležies kietumą, tačiau didesnis jų kiekis yra nepageidautinas, nes metalas darosi trapesnis. Šiame ietigalyje fosforo ir arseno vidutinės koncentracijos neperžengia pavojingų ribų.

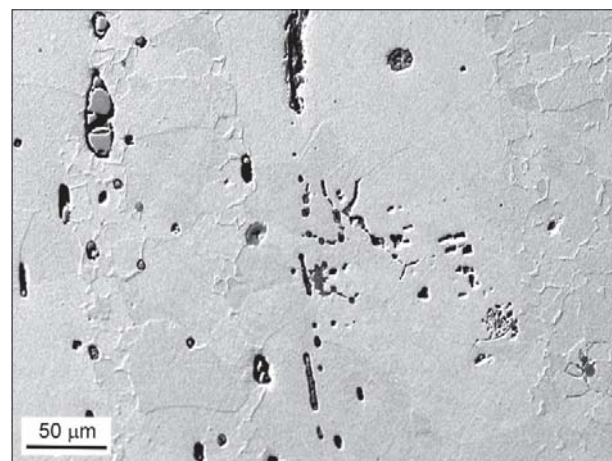
Ietigallo 1468-I elementinėje sudėtyje, palyginti su Marvelės geležies konkrecijomis, aptikta žymiai daugiau nikelio (vidutiniškai iki 0,031% Ni bandinyje 1468-I/3) bei šiek tiek daugiau kobalto (vidutiniškai iki 0,19% Co tame pačiame bandinyje). Tai verčia manyti, kad šis ietigalis buvo atgabentas iš svetur.

## PEILIAI

Tyrimams buvo atrinkti du peiliai: 1405-P ir 1468-P. Abu jie buvo panašios masės: peilis 1405-P svérė 48 gramus, o 1468-P – 40 gramų. Abu peiliai buvo stipriai paveikti korozijos, išoriniai jų sluoksniai surūdiję ir iš dalies nubyrėję. Metalo mikrostruktūros, kietumo ir cheminės sudėties tyrimams iš peilio 1405-P buvo padaryti du 1-



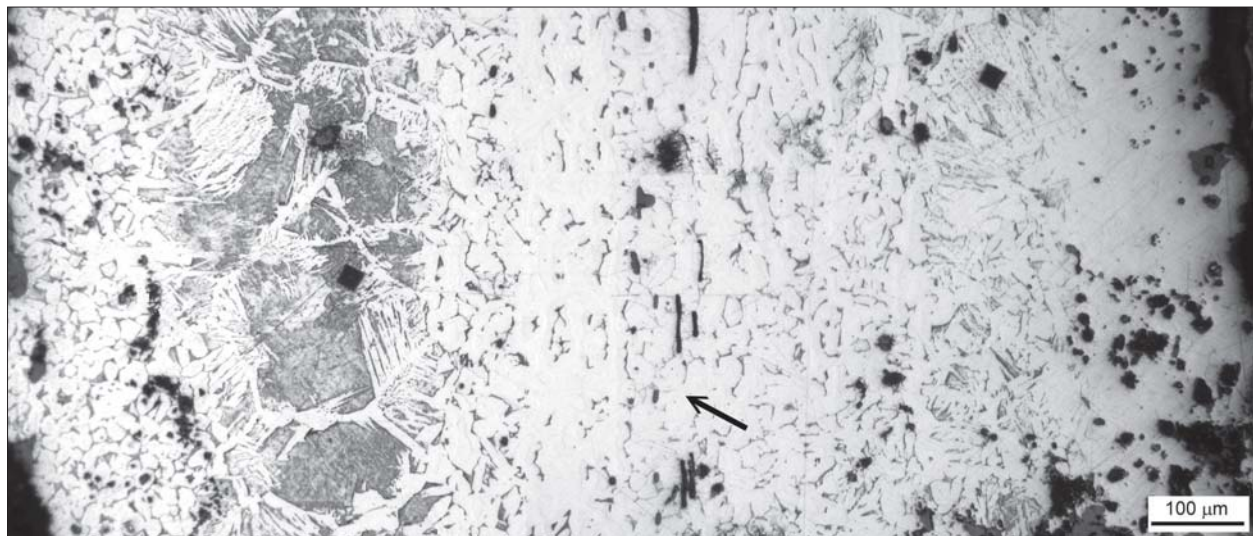
30 pav. Peilių 1405-P ir 1468-P bendras vaizdas.



31 pav. Peilio 1405-P mikrostruktūra: feritas ir šlako intarpai. SEM, bandinys ēsdintas HNO<sub>3</sub> tirpalu. A. Selskienės nuotr.

1,5 mm storio bandiniai: iš ašmenų vidurio ir iš peilio įkotės (ties 30 pav. nurodytomis pjūvių žymėmis). Peilio 1468-P tyrimams iš ašmenų buvo padaryti du bandiniai.

Metalografiniai tyrimai parodė, kad vidurinė peilio 1405-P dalis yra nukalta iš neanglingos geležies. Mikrostruktūrą sudaro beveik vien feritinė matrica su šlako intarpais (31 pav.). Perlito yra palyginti mažai. Ferito grūdeliai daugiausia vidutinio dydžio. Šlako intarpų matyti palyginti daug.



32 pav. Peilio 1468-P mikrostruktūra: feritas (šviesus), perlitas (rainas) ir šlako intarpai (tamsūs). Taip pat matomi mikrokietumo matavimo įspaudai. Struktūroje nustatyta sunkiai pastebima suvirinimo siūlė (→), kurią parodo šlakų virtinėlė, taip pat ir elementinė jos sudėtis (15 lent.). Optimis mikroskopas, bandinys ēsdintas  $\text{HNO}_3$  tirpalu. A. Selskiene's nuot.

Dalis jų pailgi, ploni, ištisę plastinės deformacijos kryptimi, o kita dalis – labai smulkūs, lygiašiai (beveik taškiniai) intarpeliai, išsibarstę ferito arba ferito ir perlito matricoje. Nereti ir stambesni šlako intarpai.

Peilio ašmenų (band. 1405-P/1) vidutinis mikrokietumas siekia  $\text{HV}_{200}$  1559 MPa (HB 156) ir yra šiek tiek didesnis už įkotės (band. 1405-P/2) kietumą  $\text{HV}_{200}$  1248 MPa (HB 124). Tieki peilio ašmenys, tieki įkotė yra pagaminti iš neanglingos geležies, todėl nelabai kieti. Ašmenys, palyginti su įkote, yra kiek kietesni, matyt, dėl plastinio geležies sukietinimo ašmenis šaltai kalant. Galimas dalykas, kad peilio ašmenų pjaunančiojoje brianoje buvo daugiau anglies, ir ji buvo kitesnė, tačiau ji surūdijo ir nubyréjo.

Peilio 1468-P struktūroje matomi keli skirtinio įanglinimo geležies sluoksneliai, susidarę iš ferito, ferito ir perlito arba perlito (32 pav.). Taip formuojant peilio geležtę ašmenų kietumas buvo didesnis, bet išvengta jų trapumo. Peilio skerspjūvyje pastebėta kalviškojo suvirinimo siūlė, kuri galėjo atsirasti suvirinant dvi geležies juostas. Bet labiausiai tikėtina, kad ji susidarė suplojant, su-

lenkiant ir suvirinant tą pačią geležies juostą. Pastarają mintį patvirtina labai panaši metalo sudėtis abiejose siūlės pusėse, tuo tarpu pačioje siūlėje yra nustatytas ryškus vario (iki 0,014%), nikelio (iki 0,025%), arseno (iki 1,16%), kobalto (iki 0,254%) padidėjimas, o tai būdinga kalviškioms suvirinimo siūlėms. Be to, siūlėje yra matoma metalurginių šlakų virtinėlė.

Mikrokietumo matavimai parodė, kad peilio geležies feritinių sluoksnelių vidutinis kietumas svyruoja nuo  $\text{HV}_{200}$  1707 MPa (HB 170) iki  $\text{HV}_{200}$  1878 MPa (HB 189), vietomis pasiekiamas net  $\text{HV}_{200}$  2170 MPa (HB 217). Tai žymiai didesnis už techniškai švaraus ferito kietumą (HB 80-100). Galima manyti, kad dvi priežastys lémė tokį peilio ferito kietumo padidėjimą. Pirma, fosforo ir arseno legiuojanti įtaka, kurių šiame peilyje yra palyginti daug (apie 0,3% P ir 0,09% As). Antra, kietinantis šaltosios plastinės deformacijos poveikis, kai baigiant gaminti jau vėstantis peilis galėjo būti specialiai pakalamas, kad būtų kietesnis. Perlitinų sluoksnelių kietumas svyruoja nuo  $\text{HV}_{200}$  1873 MPa (HB 188) iki vidutiniškai  $\text{HV}_{200}$  2362 MPa (HB 236), daugiausia iki  $\text{HV}_{200}$  2646 MPa (HB 264). Tai yra išprastas

## 14 lentelė. Peilio 1405-P elementinės sudėties tyrimų rezultatai, %

Elementas	Bandinys 1405-P/1 (ašmenys)		Bandinys 1405-P/2 (jkotė)		Vidutinis dirbiniui	
	Vidurkis (6 matav.)	Ribos	Vidurkis (12 matav.)	Ribos	Vidurkis	Ribos
Fe	99,77	99,71–99,81	99,74	99,66–99,81	99,62	99,46–99,83
Co	0,162	0,156–0,166	0,163	0,157–0,168	0,162	0,156–0,168
Cu	0,002	0–0,004	Pėds.		0,002	0–0,004
Ni	Pėds.		Pėds.		Pėds.	
As	0,005	0–0,010	0,014	0–0,034	0,011	0–0,034
P	0,067	0,023–0,124	0,086	0,014–0,208	0,080	0,014–0,208
Mn	Pėds.		Pėds.		Pėds.	
S	0,003	0,002–0,005	–		0,003	0,002–0,005
Σ	100,01		100,003		99,88	

plokštelinio perlito kietumas. Kaip matome, šis peilio yra žymiai kitesnis už 1405-P.

Peilio 1405-P bandinių mikrostruktūroje buvo pasirinkta keletas vietų ir ištirta elementinė sudėtis. Šiu tyrimų apibendrinti rezultatai pateikti 14 lentelėje.

Peilio 1405-P ašmenų ir jkotės elementinės sudėtys yra labai artimos, beveik vienodos. Be to, peilio bandiniuose nepastebėta kalviškojo suvirinimo siūlių. Tai rodo, kad jis nukaltas iš vieno ruošinio. Tiesa, aptiktas vienas plonytis sluoksnelis (bandinys 1405-P/2), turintis kiek besiskiriančias nuo vidutinių elementų Cu, As ir P koncentracijas, tačiau greičiausiai jis yra susidaręs kalant peilio ruošinį. Peilio 1405-P elementinė sudėtis yra labai panaši į Marvelės geležies konkrecijų, todėl nekyla abejonių, kad jis darytas vietinių meistrų, nukaltas iš Marvelėje išlydytos geležies.

Peilio 1468-P bandinių mikrostruktūroje taip

pat buvo pasirinkta po keletą vietų ir ištirta cheminė sudėtis. Kadangi peilis yra suvirintas iš atskirų juostų, cheminė sudėtis buvo tyrinėta abiejose geležtės pusėse, vidurinėje geležtės dalyje bei suvirinimo siūlėje. Tyrimų rezultatai pateikti 15 lentelėje.

Peilio 1468-P metalo elementinė sudėtis (15 lent.) yra artima Marvelės geležies konkrecijų (1 lent.), išskiriant kobaltą. Kobalto koncentracija peilio metale yra šiek tiek didesnė (apie 13%) už vidutinę konkrecijose ir vidutiniškai siekia apie 0,185%. Kitų tirtų elementų kiekis peilyje yra maždaug tokis pat, kaip ir konkrecijose. Nepaisant kiek didesnės kobalto koncentracijos, galima manyti, kad peilis buvo pagamintas Marvelėje dirbusių kalvių iš čia išlydytos geležies, tačiau taip pat tikėtina, kad jis galėjo čia patekti ir iš kitų vietovių, kuriose geležies gavybai buvo naudojama fosforinga balų rūda, turinti kobalto mineralų.

## 15 lentelė. Apibendrinti peilio 1468-P elementinės sudėties duomenys, %

Elementai	Kairysis kraštas		Dešinysis kraštas		Vidurinė dalis		Vidutiniškai dirbiniui		Suvirinimo siūlės	
	Vidurkis (2 mat.)	Ribos	Vidurkis (2 mat.)	Ribos	Vidurkis (8 mat.)	Ribos	Vidurkis (12 mat.)	Ribos	Vidurkis (3 mat.)	Ribos
Fe	99,37	99,35–99,38	99,47	99,41–99,53	99,44	99,09–99,68	99,43	99,09–99,68	98,25	97,76–98,52
Co	0,166	0,165–0,167	0,211	0,196–0,225	0,184	0,163–0,227	0,185	0,163–0,227	0,241	0,232–0,251
Cu	0,001	0–0,002	0,001	0–0,001	0,002	0–0,010	0,002	0–0,010	0,009	0–0,014
Ni	Nerasta		0,003	0,002–0,004	0,001	0–0,005	0,001	0–0,005	0,033	0,025–0,042
As	0,006	0,002–0,009	0,146	0,103–0,188	0,094	0–0,189	0,088	0–0,189	1,316	1,118–1,684
P	0,471	0,471	0,192	0,184–0,199	0,290	0,158–0,71	0,304	0,158–0,710	0,161	0,106–0,269
Mn	–		–		–		–		–	
Σ	100,014		100,023		100,011		100,01		100,01	

## SAGTIS

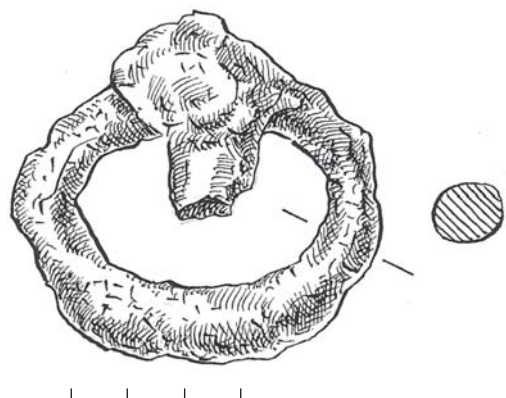
Sagties masė – 68 g, ji stipriai paveikta korozijos. Matmenys nenuvalius rūdžių: ilgis – 62 mm, plotis – 55 mm, aukštis – 33 mm, sagties žiedo skersmuo 9–15 mm. Metalografiniams, mikrokietumo ir elementinės sudėties tyrimams iš sagties žiedo išpjautas bandinys 1446-S/1 (ties 33 pav. nurodyta pjūvio žyme).

Sagties žiedo bandinio 1446-S/1 skerspjūvis nuvalius rūdis siekė apie 6–7 mm. Metalografiniai tyrimai parodė, kad šio palyginti mažo dirbinio struktūros įvairovė yra didelė. Tikėtina, kad kalant ruošinį žiedui, metalas buvo suplojamas ir lenkiamas, o sulenkinti sluoksnai kalviškai suvirinami. Baigiant buvo suformuotas strypelis – žiedo ruošinys. Dėl to žiedo skerspjūvyje matome keletą suvirinimo siūlių, jungiančių įvairaus anglingumo geležį. Anglies kiekis svyruoja nuo 0 (techniška geležis) iki maždaug 0,7% C (mikrostruktūroje – perlitas su nežymiu kiekiu ferito). Dirbinys gerai iškaltas, nes struktūroje yra likę nedaug šlako interpu. Perlito, perlito ir ferito plotelių matricą sudaro smulkūs, o ferito ploteliuose vyrauja stambūs grūdeliai. Mikrostruktūros pavyzdžių matome iliustracijoje (34 pav.).

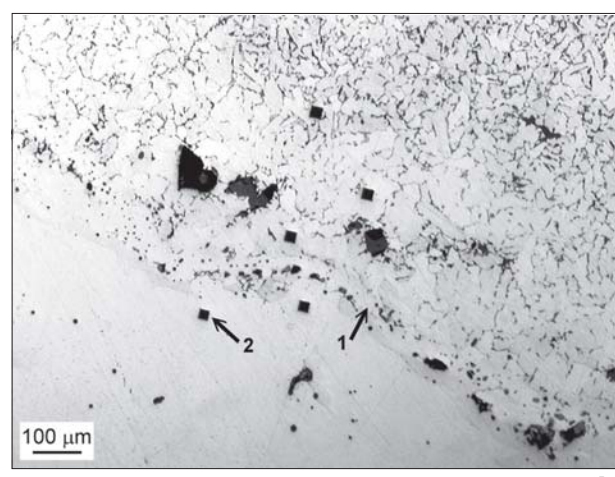
Mikrokietumas sagties žiedo skerspjūvyje siekia vidutiniškai nuo  $HV_{200}$  1843 MPa (HB 184) iki  $HV_{200}$  2447 MPa (HB 245). Tokiam dirbiniui kaip sagis tai palyginti didelis kietumas.

Sagties metalo elementinė sudėtis buvo ištirita 24 vietose. Apibendrinti sagties 1446-S elementinės sudėties tyrimų rezultatai parodyti 16 lentelėje, kurioje atskirai pateikiama apibendrinta dirbinio metalinės matricos ir suvirinimo siūlės sudėtis.

Sagties žiedo metale, be anglies (C), rasta palyginti daug fosforo (P). Fosforas geležyje pasiskirstęs labai netolygiai. Mažiausiai jo pastebėta kalviškojo suvirinimo siūlėse – apie 0,035% (ri-



33 pav. Sagties 1446-S bendras vaizdas ir bandinio išpjovimo vieta.



34 pav. Sagties metalo mikrostruktūra : a – perlitinė ir feritinė matrica, b – kalviškojo suvirinimo vieta. Rodyklėmis parodyta suvirinimo siūlė (1) ir mikrokietumo matavimo išpaudas (2). Optinis mikroskopas, bandinys ésdintas  $HNO_3$  tirpalu. A. Selskienės nuotr.

16 lentelė. Sagties 1446-S elementinės sudėties tyrimų apibendrinti rezultatai, %

Elementas	Dirbinio matricoje		Suvirinimo siūlėje	
	Vidurkis (16 matav.)	Ribos	Vidurkis (8 matav.)	Ribos
Fe	99,529	99,09–99,72	99,18	98,87–99,66
Co	0,175	0,167–0,189	0,219	0,191–0,259
Cu	0,003	0–0,008	0,011	0,005–0,018
Ni	0,005	0–0,023	0,095	0,027–0,202
As	0,041	0,007–0,084	0,409	0,086–0,654
P	0,250	0,019–0,674	0,035	0,018–0,089
Mn	—	—	—	—
$\Sigma$	100,003	—	99,949	—

bos nuo 0,018 iki 0,089%), o daugiausia – feritinėje matricoje (iki 0,674%). Fosforo legiruoto ferito kietumas padidėja, todėl mikrokietumas šiose feritinės matricos vietose siekia iki HV<sub>200</sub> 2447 MPa (HB 245). Sagties žiede yra nemažai ir kobalto, vidutiniškai apie 0,175%, tačiau šis elementas pasiskirstęs gana tolygiai – nuo 0,167 iki 0,189%. Lyginant su Marvelės geležies konkrecijomis, sagties metale aptikta tik nežymiai daugiau kobalto. Todėl galima manyti, kad sagtis 1446-S yra vandinės gamybos, t.y. ji nukalta Marvelėje, nors gali būti patekusi ir iš kitur.

## IŠVADOS

1. Marvelėje išlydytos geležies konkrecijų elementinė sudėtis (Cu, Ni, Co, As, P, Mn, S) yra labai panaši į kitų Lietuvos teritorijoje atrastų konkrecijų, tačiau galima ižveldti ir nedidelių skirtumų. Marvelės konkrecijose yra kiek daugiau kobalto (vid. 0,164%, kitur jo yra vid. 0,092%), tačiau mažiau fosforo (vid. 0,078 ir 0,432%) bei vario (tik pėdsakai, o kitur vid. iki 0,026%) ir nikelio (vid. 0,003 ir 0,009%), arseno ir sieros yra beveik vienodai (atitinkamai po 0,12 ir 0,005%).

2. Marvelės geležies lydymo šlakai chemine sudėtimi panašūs į kitus Lietuvoje rastus ir ištirtus rudnelių šlakus, išskiriant tik mangano (Mn) kiekį. MnO koncentracija kai kuriuose Marvelės šla-

kuose viršija net 10%, tuo tarpu kituose šlakuose tesiekia 1–2%.

3. Kompleksiškai buvo ištirta dešimt geležinių dirbinių iš Marvelės III–V a. datuojamų griautinių kapų (trys įmoviniai kirviai, keturi įmoviniai ietigaliai, du peiliai ir sagtis). Daugumos tirtų dirbinių elementinė sudėtis yra artima Marvelės geležies konkrecijų, taip pat ji panaši ir tarpusavyje. Tad labai tikėtina, kad jie pagaminti vietinių meistrų Marvelės senovinėje gyvenvietėje. Tačiau ietigalio iš 1414 kapo (1414-I) ir ietigalio iš 1468 kapo (1468-I) metalo sudėtis aiškiai skiriasi nuo Marvelės geležies konkrecijų ir kitų dirbinių sudėties. Tai rodo, kad šie dirbiniai yra patekę iš svetur.

4. Tyrimų metu atskleista įmovinių kirvių sandara, kuri Lietuvoje buvo nežinoma ir netyrinėta. Nustatyta šių kirvių gamybos technologija. Visi kirviai turėjo centrinę įanglintą dalį ir ją gaubiantį privirintą mažesnio anglingumo sluoksnį, iš kurio taip pat buvo suformuota įmova. Kirvių ašmenys buvo grūdinti.

5. Ištirta ir keturių įmovinių ietigalių bei dviejų peilių (tiesia ir lenkta įkote) sandara ir gamybos technologija. Nustatyta, kad kiekvienas iš tirtų ietigalių buvo gaminamas iš vieno ruošinio, iš kurio buvo formuojama ir plunksna, ir įmova. Ietigalių geležies įanglinimas labai įvairus. Anglies kiekis atskirose struktūros vietose svyruoja nuo 0,01 iki 0,8%, t.y. nuo techniškos geležies

iki eutektoidinio plieno. Dėl šios priežasties ietigalių kietumas taip pat yra įvairus. Marvelėje pagamintų ietigalių (1405-I ir 1410-I) kietumas siekia apie HV<sub>200</sub> 1810-2675MPa (HB 181-268). Tai smulkaus perlito struktūros negrūdinto plieno kietumas.

6. Tirtieji peiliai buvo labai paveikti korozijos. Išoriniai jų sluošnai buvo nurūdiję, todėl tyrimams buvo galima panaudoti tiktais vidurines peilių dalis. Nustatyta, kad peilis 1405-P buvo pagamintas iš neanglingos geležies, jo kietumas buvo vos HV<sub>200</sub> 1559MPa (HB 156). Peilis 1468-P buvo nukaltas iš dalinai įanglintos feritinės ir perlitinės struktūros bei šiek tiek legiruotos fosforu ir arsenu geležies. Dėl to šio peilio kietumas siekė iki HV<sub>200</sub> 2362-2646MPa (HB 236-264). Kiek vienas šių peilių (bent jų vidurinės dalys) buvo nukaltas iš vieno ruošinio.

7. Tyrimai atskleidė, kad Marvelėje III–V a. vyko geležies gavyba ir čia pat ji buvo apdirbama. Dirbo labai sumanūs meistrai, puikiai įvaldė kalvystės techniką ir sugebėjė gaminti aukštostos kokybės to meto ginklus bei įrankius.

## ŠALTINIŲ IR LITERATŪROS SĀRAŠAS

**Anteins A.,** 1976 – Melnais metāls Latvijā. Riga, 1976.

**Bertašius M.,** 2007š – Marvelės kapinynas, 2006 metų tyrinėjimų ataskaita. KTU, Filosofijos ir kultūrologijos katedros archyvas.

**Bertašius M.,** 2008š – Marvelės kapinynas, 2007 metų tyrinėjimų ataskaita. KTU, Filosofijos ir kultūrologijos katedros archyvas.

**Bertašius M.,** 2009 – Marvelė. Ein Bestattungsplatz mit Mittellitauischer Pferdegräber. Marvelės žirgų kapinynas, II Band. Kaunas, 2009.

**Biborski M., Kaczanowski P., Kędzierski Z.,**

**Stępiński J.,** 2002 – Badania nad technologią mieszczy z młodszego okresu przedrzymskiego z obszaru kultury przeworskiej // Varia Barbarica. Monumenta Archaeologica Barbarica, Series Gemina. Warszawa–Lublin, 2002. T. I, p. 81–104.

**Navasaitis J., Selskienė A.,** 2007 – Iron smelting techniques in the Virbaliūnai ancien settlement // Archaeologia Baltica. Klaipėda, 2007. Vol. 8, p. 387–394.

**Navasaitis J., Selskienė A., Selskis A.,** 1999 – Lietuvos rudnelių šlako sudėtis ir savybės // Lietuvos archeologija. Vilnius, 1999. T.18, p.121–133.

**Navasaitis J., Selskienė A., Žaldarys G.,** 2010 – The Study of Trace Elements in Bloomery Iron // Material Science. Kaunas, 2010, 16(2), p. 113–118.

**Peets J.,** 2003 – On Forging Technologies of Estonian Iron Age and Medieval Axes // Prehistoric and Medieval Direct Iron Smelting in Scandinavia and Europe. Aspects of Technology and Society (sud. L.Ch. Nørbach). Acta Jutlandica LXXVI:2, Humanities Series 75. Aarhus university press, 2003, p. 111–117, 258–271.

**Piaskowski J.,** 1983 (1987) – Metaloznawcze badania przedmiotów żelaznych z cmentarzyska w Warszawie–Wilanowie // Wiadomości archeologiczne. Warszawa, 1983 (1987). T. XLVIII, zeszyt 1, p. 101–110.

**Stankus J.,** 1970 – Kalavijų ir ietigalių gamybos technologija Lietuvoje IX–XIII amžiais // LTSR MA darbai, A serija. Vilnius, 1970. T. 2 (33), p. 113–130.

**Stankus J.,** 1978 – Juodoji metalurgija // Lietuvių materialinė kultūra IX–XIII amžiuje. Vilnius, 1978. T. 1, p. 73–88.

**Tautavičius A.,** 1996 – Vidurinis geležies amžius Lietuvoje (V–IX a.). Vilnius, 1996.

**Казакевичюс B.,** 1988 – Оружие балтских племен II–VIII веков на территории Литвы. Вильнюс, 1988.

## A METALLOGRAPHIC, MECHANICAL PROPERTIES, AND ELEMENTAL ANALYSIS OF IRON ARTEFACTS FROM MARVELĖ CEMETERY

Mindaugas Bertašius, Jonas Navasaitis, Aušra Selskiénė, Gintautas Žaldarys

### Summary

The region of Central Lithuania is known for a group of archaeological sites concentrated close to the river Nemunas. One of these, Marvelė (in Kaunas), is the largest archaeologically investigated Lithuanian prehistoric burial ground. This cemetery has been investigated since 1991 and contains burials dating to the 2nd–12th centuries. It has provided an abundance of different types of burials and grave goods and also suggests some plausible interpretations for social events. The paper analyses material from the archaeological investigations in 2006 and presents the results of a metallographic, mechanical properties and chemical analysis of iron artefacts, metallurgical slag, iron droplets and clinker excavated in the Marvelė cemetery. The elemental composition of iron droplets from Marvelė (found in smelting slag) shows theirs similarity to that of droplets from other Lithuanian archaeological sites. However some small differences may be indicated, e.g., droplets from Marvelė contain more cobalt (c. 0.164%, others contain av. 0.092% Co), but less phosphorus (c. 0.078%, when others – av. 0.432% P). The composition of the examined slag is similar to other Lithuanian archaeological slag, although the manganese oxide level is rather high (up to 10%) in the Marvelė slag.

The manufacturing technologies were studied using a number of socket axes (3 examples of one type), spearheads (4 examples of various types), knives (2 examples of different types) and buckle, all from 3rd–5th-century inhumations.

Metallographic analysis samples were taken

from different parts of the iron artefacts: the cutting edges and longitudinal sections of the axes (3 examples) and spearheads (4 examples). This technique only allows one to presume what the forging sequence and the peculiarities of the metal were in the different parts of the artefacts. The material's hardness (Rockwell and microhardness) was determined for all the axes, spearheads, and knives.

The axes were forged from two separate pieces of iron. The core and cutting edge were made of a higher carburised material (up to 0.8% C), which was covered by a layer of a less carburized material, from which the socket was also forged. The material is steel with a ferrite and pearlite structure and a heterogeneous carbon content (HB 183–318, 187–363, 192–341, the highest HB being found on the cutting edge). The cutting edges were tempered.

Meanwhile the spearheads and knives were forged from a single piece of iron. The hardnesses that were determined are associated with different metal structures and different production technologies.

Through the metallographic and elemental analysis, it was determined that the metal was produced in Marvelė). The iron ore mining process and the production of iron tools were ascertained to have existed in the immediate vicinity during the 3rd–5th centuries. The iron weapons and tools suggest that the majority of all of the examined artefacts are of local production with the exception of two spearheads that were possibly

imported (burials 1414, 1468). The highly trained craftsmen who worked at this location were very proficient smiths and managed to produce the tools and weapons of high quality.

## LIST OF TABLES

Table 1. The elemental composition of Marvelė iron droplets no. 20070717/2 (polished surface no. 150) and no. 20070717/4 (polished surfaces no. 152, 153), wt. %.

Table 2. The chemical composition of Marvelė metallurgical slag, wt. %.

Table 3. The chemical composition of clinker no. 20070717/8 (analysis no. 303), wt. %.

Table 4. The results of the hardness measurements of axe 1405-K.

Table 5. The elemental composition of axe 1405-K, wt. %.

Table 6. The hardness measurements of axe 1414-K.

Table 7. The elemental composition of axe 1414-K, wt. %.

Table 8. The hardness of axe 1357-K in the longitudinal section.

Table 9. The generalised elemental composition of axe 1357-K, wt. %.

Table 10. The generalised results of the elemental analysis of spearhead 1405-I, wt. %.

Table 11. The generalised results of the elemental analysis of spearhead 1410-I, wt. %.

Table 12. The generalised results of the elemental analysis of spearhead 1414-I, wt. %.

Table 13. The generalised results of the elemental analysis of spearhead 1468-I, wt. %.

Table 14. The results of the elemental analysis of knife 1405-P, wt. %.

Table 15. The generalised data of the elemental composition of knife 1468-P, wt. %.

Table 16. The generalised results of the elemental analysis of buckle 1446-S, wt. %.

## LIST OF ILLUSTRATIONS

Fig. 1. A 1950's map of Marvelė and Veršvai cemeteries in the Nemunas valley. The Kaunas city wastewater treatment plant has been built on part of Marvelė cemetery.

Fig. 2. Smelting slag with iron droplets (sample no. 20070717/4, polished, not etched). *Photo by A. Selskiene.*

Fig. 3. Microstructure of an iron droplet (sample no. 20070717/4; polished surface no. 153): ferrite grains (light) and smelting slag (grey). Scanning electron microscope, samples etched with  $\text{HNO}_3$  solution. *Photo by A. Selskiene.*

Fig. 4. Microstructure of an iron droplet (sample no. 20070717/2; polished surface no. 150): ferrite grains (light), pearlite (light grey), and slag (dark). Light microscope, samples etched with  $\text{HNO}_3$  solution. *Photo by A. Selskiene.*

Fig. 5. Microstructure of an iron droplet (sample no. 20070717/4; polished surface no. 152): reduced iron grains (light) mixed with smelting slag. Light microscope, samples etched with  $\text{HNO}_3$  solution. *Photo by A. Selskiene.*

Fig. 6. Tap slag from Marvelė. Sample no. 20081210/2. *Photo by A. Selskiene.*

Fig. 7. General view and section of axe 1405-K: a – view from the wide side; b – longitudinal section 1405-K/1 (unhatched), arrangement of the large slag inclusions shown in the section; c – view of the longitudinal section; surface polished and etched with  $\text{HNO}_3$  solution. Part (darker) of the carburised (up to 0.8%) blade was enhanced. *Photo by M. Bertašius.*

Fig. 8. Diagram of the microstructure of axe 1405-K and a graph of the blade's hardness: a – the microstructure and hardness measurement locations, b – a graph of the blade's hardness.

Fig. 9. Diagram of blade sample 1405-K/2 (microstructure shown in figure 10), with right and left seam pointed out.

Fig. 10. The blade microstructure of axe 1405-K: a – the axe edge: ferrite (light) with pearlite (grey), b – a forge weld (light with dark slag inclusions), c – central part of the blade (sorbite). Light microscope, sample etched with  $\text{HNO}_3$  solution. *Photo by A. Selskiene.*

Fig. 11. Metallurgical slag inclusions in the blade of axe 1405-K. Light microscope, sample not etched. *Photo by A. Selskiene.*

Fig. 12. General view and section of axe 1414-K: a – view from the wide side, b – longitudinal section 1414-K/1 (unhatched), the arrangement of the large slag inclusions is shown, c – a photo of the axe's longitudinal section. Section surface polished and etched with  $\text{HNO}_3$  solution. The carburised (up to 0.8%) part (dark) of the blade is visible. *Photo by M. Bertašius.*

Fig. 13. Diagram of the microstructure of axe 1414-K and a graph of the blade's hardness: a – the microstructure diagram and hardness measurement locations, b – a graph of the blade's hardness.

Fig. 14. Microstructure of the cross section of the axe socket (sample 1414-K/3): 1 – socket interior (pearlite and ferrite), 2 – welding seam, 3 – rust, 4 – socket exterior (pearlite and ferrite). Light microscope, sample etched with  $\text{HNO}_3$  solution. *Photo by A. Selskiene.*

Fig. 15. General view and section of axe 1357-K: a – axe dimensions, b – photo of the axe's longitudinal section. Section surface polished and etched with  $\text{HNO}_3$  solution. *Photo by M. Bertašius.*

Fig. 16. Microstructure diagram and hardness graph of axe 1357-K: a – the microstructure diagram and hardness measurement locations, b – a hardness graph of the blade.

Fig. 17. Structure of a blade sample from axe 1357-K: welding seams (light) joining the central and exterior parts of the axe; slag strands (dark) are visible. Sample polished and etched with  $\text{HNO}_3$  solution. *Photo by A. Selskiene.*

Fig. 18. General view of spearhead 1405-I.

Fig. 19. Diagram of the microstructure and micro-hardness measurements of spearhead 1405-I (enlarged about 5 times): a – on the blade (sample 1405-I/1), b – between the socket and the blade (sample 1405-I/2).

Fig. 20. A welding seam (light) in the blade microstructure of spearhead 1405-I. Light microscope, sample etched with  $\text{HNO}_3$  solution. *Photo by A. Selskiene.*

Fig. 21. General view of spearhead 1410-I: a – spearhead dimensions; b – photo of the longitudinal section through the socket. Sample polished and etched with  $\text{HNO}_3$  solution. *Photo by M. Bertašius.*

Fig. 22. Diagram of the microstructure and micro-hardness measurements in the longitudinal section (sample no. 1410-I/1) of spearhead 1410-I.

Fig. 23. Microstructure of a cross section (sample 1410-I/2) of the spearhead's blade. The layered structure and slag inclusions as well as the impression of a micro-hardness measurement (dark square) are visible in the photo. Light microscope, sample etched with  $\text{HNO}_3$  solution. *Photo by A. Selskiene.*

Fig. 24. Microstructure of the spearhead's socket (sample 1410-I/3). Light microscope, sample etched with  $\text{HNO}_3$  solution. *Photo by A. Selskiene.*

Fig. 25. General view of spearhead 1414-I.

Fig. 26. Diagram of the microstructure of the spearhead's blade (sample no. 1414-I/3).

Fig. 27. Microstructure of the carburised layer of the spearhead's blade (sample no. 1414-I/3). The edge of the sample at the top of the photo. Light microscope, sample etched with  $\text{HNO}_3$  solution. *Photo by A. Selskiene.*

Fig. 28. General view of spearhead 1468-I.

Fig. 29. Diagram of the microstructure and micro-hardness measurements of spearhead 1468-I: a – in the blade (sample 1468-I/1), b – in the socket (sample 1468-I/3).

Fig. 30. General view of knives 1405-P and 1468-P.

Fig. 31. Microstructure of knife 1405-P: ferrite and slag inclusions. Scanning electron microscope, sample etched with  $\text{HNO}_3$  solution. *Photo by A. Selskiene.*

Fig. 32. Microstructure of knife 1468-P: ferrite (light), pearlite (mottled), and slag inclusions (dark). The impressions of a micro-hardness measurement are also visible. A difficult-to-see welding seam ( $\leftarrow$ ), which is shown by a string of slag inclusions as well

as its elemental composition (see Table 15), was determined in the structure. Light microscope, sample etched with  $\text{HNO}_3$  solution. *Photo by A. Selskiene.*

Fig. 33. General view of buckle 1446-S and the sampling location.

Fig. 34. Microstructure of the buckle's metal: a – pearlite – ferrite matrix, b – a forge weld. The forge weld (1) and micro-hardness measurement impression (2) are shown by arrows. Light microscope, sample etched with  $\text{HNO}_3$  solution. *Photo by A. Selskiene.*

Mindaugas Bertašius  
KTU, Filosofijos ir kultūrologijos katedra  
Gedimino g. 43, LT-44240 Kaunas  
el. paštas: mbertas@takas.lt

Gauta 2009 12 02

Jonas Navasaitis  
KTU, Gamybos technologijų katedra  
el. paštas: Kęstučio g. 27, LT-44312 Kaunas

Aušra Selskiene  
Fizinių ir technologijos mokslų centro  
Chemijos institutas  
A.Goštauto g. 9, LT-01108 Vilnius  
el. paštas: ausra@chi.lt

Gintautas Žaldarys  
KTU, Gamybos technologijų katedra  
Kęstučio g. 27, LT-44312 Kaunas  
el. paštas: ginzald@ktu.lt